

## **Důvody pro klonování genů v eukaryotech**

**A. Funkce charakteristické pro eukaryotické buňky, které se u baktérií nevyskytují:**

- lokalizace systému regenerujícího ATP v mitochondriích,
- uspořádání DNA v chromatinu
- způsob dělení buněk, mitoza a meioza
- diferenciace buněk, buněčné komunikace, signální dráhy

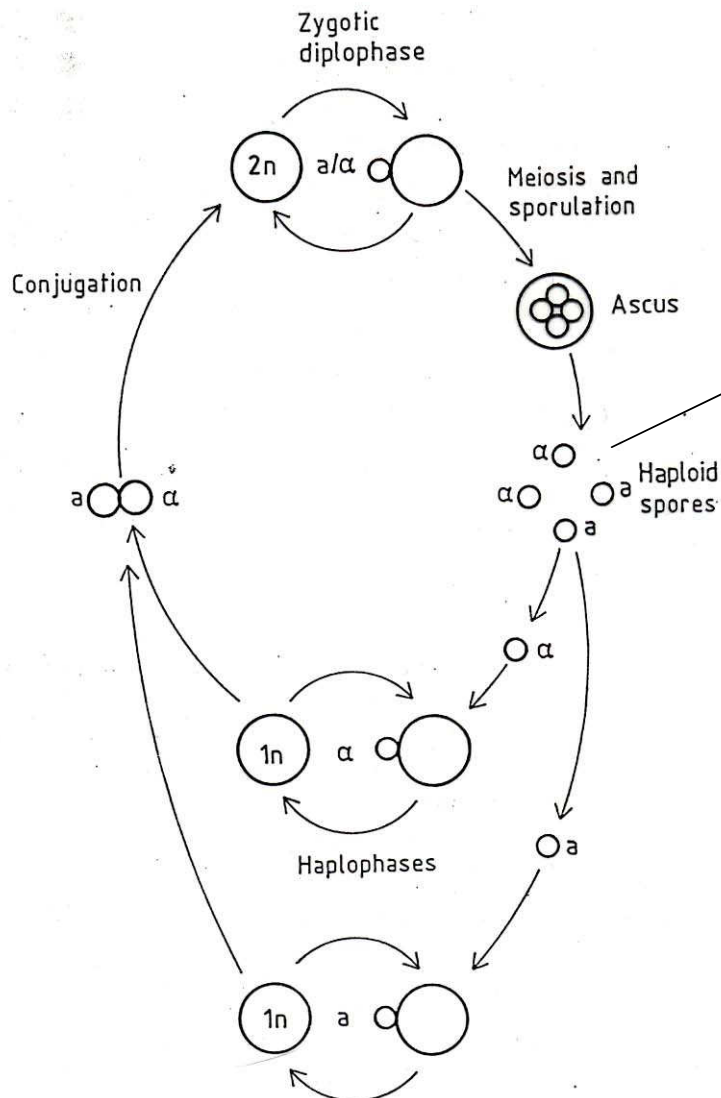
**B. Rozdíly v expresi genů u eukaryot oproti bakteriím:**

- odlišnost regulačních sekvencí pro transkripci, translaci a export
- specifické posttranslační modifikace

# Výhody kvasinek pro GI

- jednoduchá eukaryota s mikrobiálním charakterem (malý genom se známou sekvencí, krátká generační doba a vysoký počet potomstva, kultivace na definovaných půdách, řada mutant získaných a charakterizovaných klasickou i moderní genetikou)
- řada genů homologních vyšším eukaryotům, podobná buněčná biochemie a regulace genů
- možnost stanovit dominanci a recesivity alel (na haploidním pozadí)
- vysoká frekvence homologní rekombinace – záměny genů
- tradiční dobře definovaný a bezpečný biotechnologický organismus, možnost přípravy farmak pro humánní medicínu,
- eukaryotické proteiny vytváří v aktivní podobě, lze dosáhnout sekrece do prostředí

# Životní cyklus kvasinek



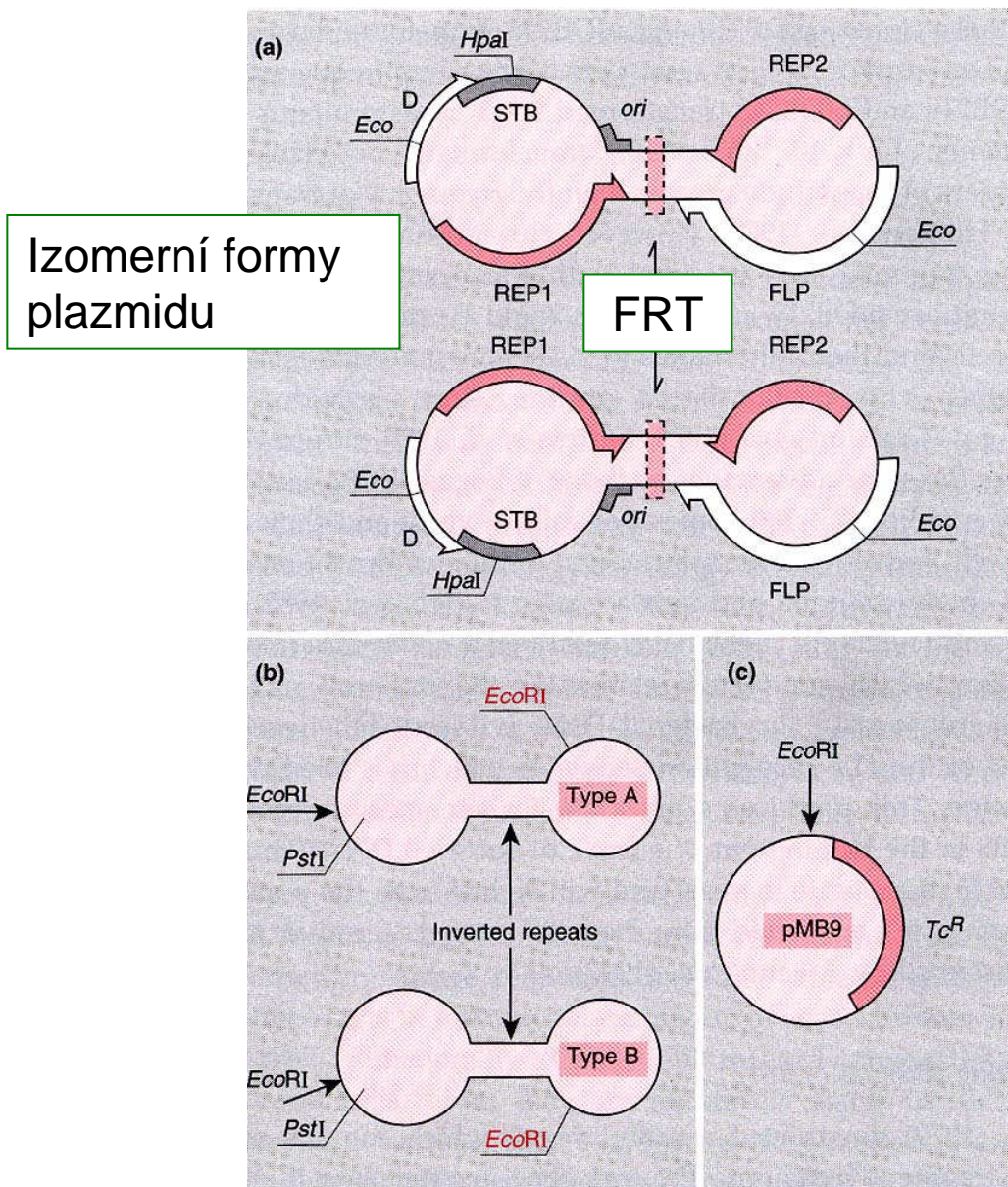
tetrádová analýza

Dva typy haploidních buněk: a a α

Heterotalické kmeny – stabilní

Homotalické kmeny – nestabilní,  
haploidní buňky spontánně revertují  
na opačný buněčný typ

# Molekulární struktura kvasinkového $2\mu$ plazmidu



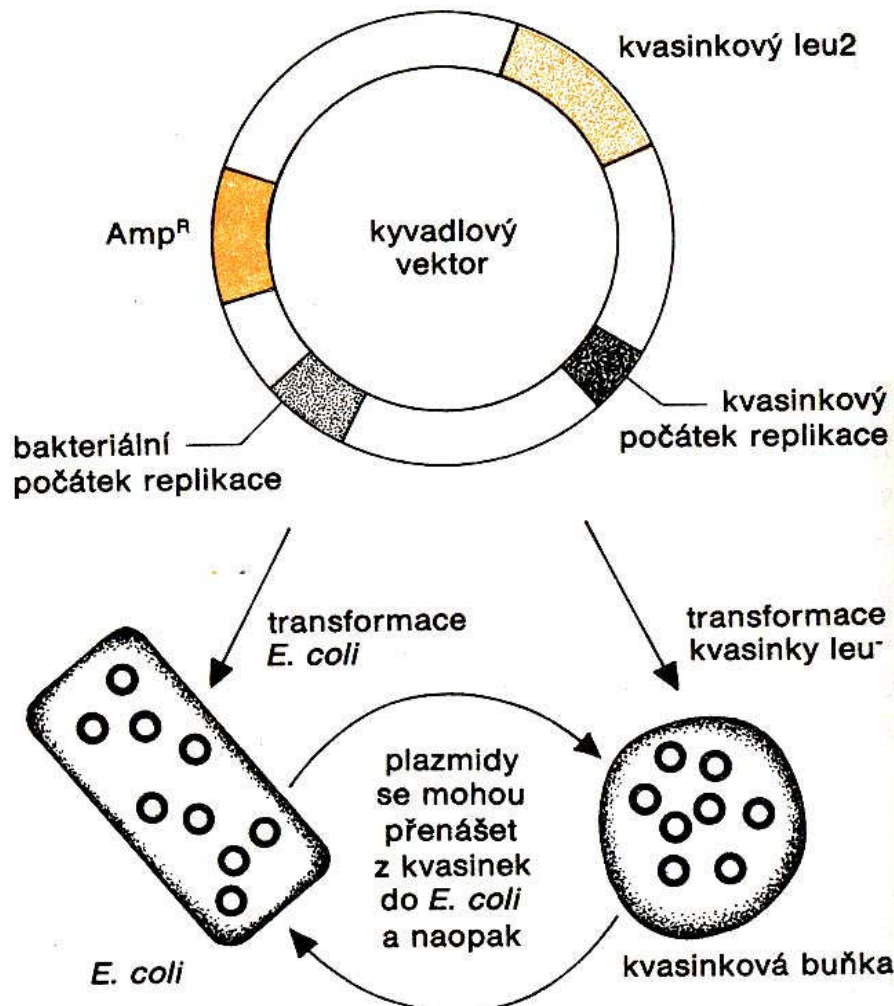
6,3 kb; 50-100 kopíí

REP – replikace  
FLP – rekombinace  
STB – rozklad kointegrátu

**FRT site = FRT recombination target**  
**Flp recombinase = flippase**  
**Systém Flp/FRT ~ Cre/loxP**

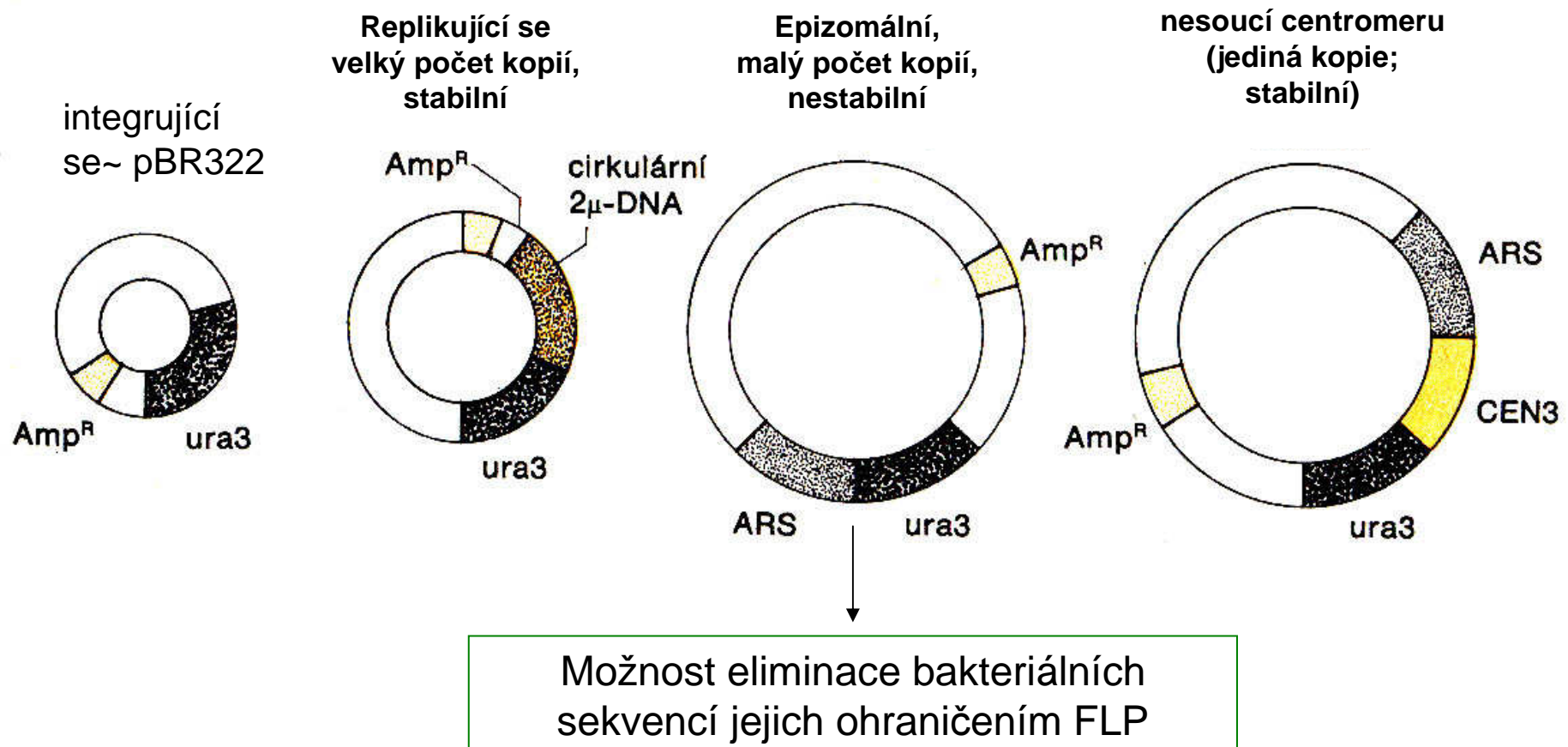
Chimerické plazmidy vytvořené spojením plazmidů  $2\mu$  a pMB9 štěpených EcoRI, (dále pak vložení genu leu2 z kvasinkového chromozomu do místa PstI na plazmidu)

# Kyvadlové vektory pro klonování genů v kvasinkách

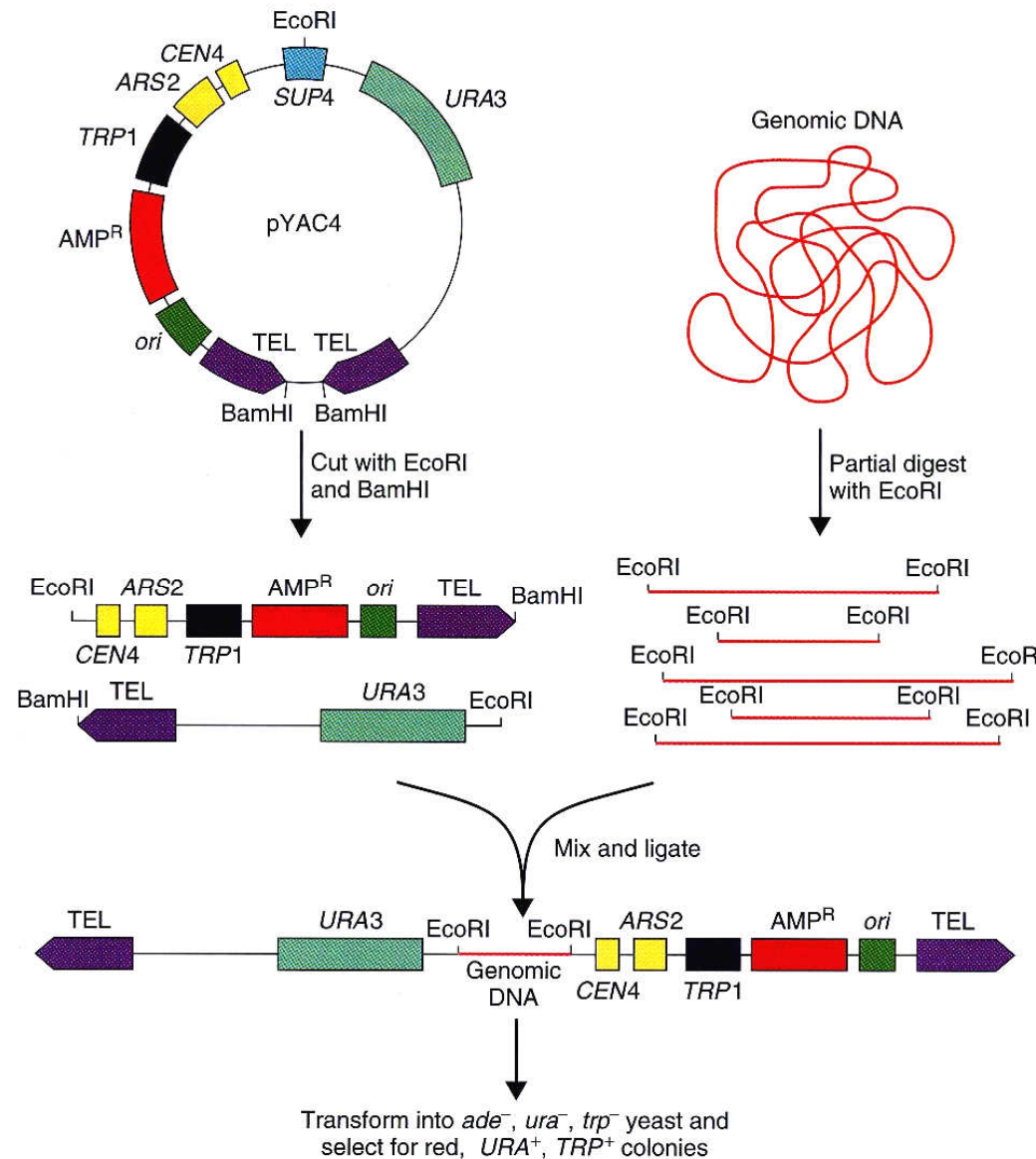


Přenos do kvasinek:  
transformace protoplastů  
**elektroporace**

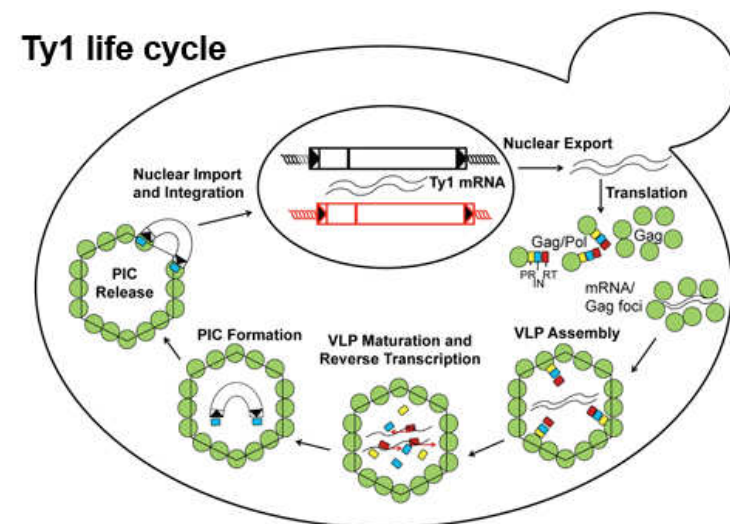
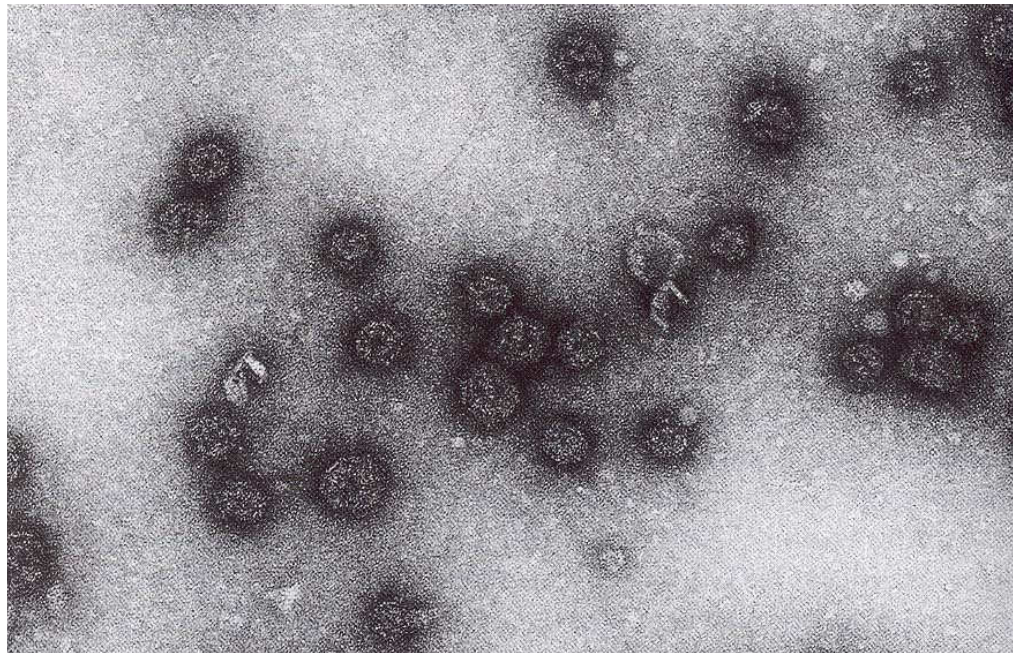
# Základní typy kvasinkových vektorů



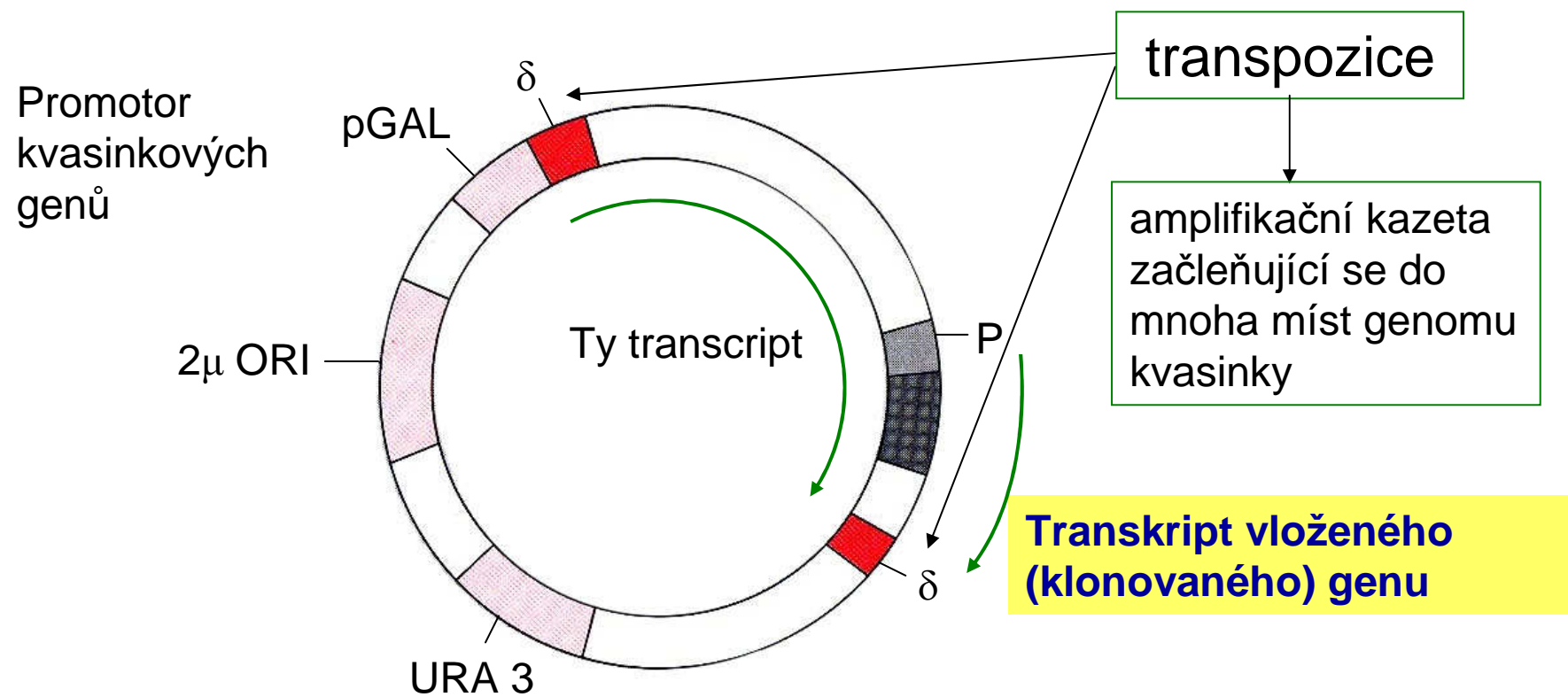
# Umělý kvasinkový chromozom (YAC)



# Virům podobné částice odvozené z Ty elementů nesoucích kódující oblast HIV1 TAT



**Ty-element:** 30-40 kopií v genomu *S. cerevisiae*, velikost 5,9 kb  
LTR – 334 bp, levá funguje jako promotor genů pro RT a integrázu  
Pseudovirion (virus like particle, VLP) obsahuje mRNA, dsDNA, RT a integrázu



Struktura vysokokopiového plazmidu používaná pro začlenění modifikovaného Ty elementu nesoucího klonovaný gen do chromozomu kvasinky. pGAL a P jsou kvasinkové promotory,  $\delta$  (delta sekvence) jsou LTR

Použití při přípravě vakcín – fúzní plášťový protein obsahující antigeny z plazmodií (malárie)

Table 13.1 Properties of different yeast vectors

VEKTOR	Vector	Transformation frequency	Copy no./cell	Loss in non-selective medium		
					Disadvantages	Advantages
integrující se	YIp	10 <sup>2</sup> transformants per µg DNA	1	Much less than 1% per generation	1 Low transformation frequency 2 Can only be recovered from yeast by cutting chromosomal DNA with restriction endonuclease which does not cleave original vector containing cloned gene	1 Of all vectors, this kind give most stable maintenance of cloned genes 2 An integrated YIp plasmid behaves as an ordinary genetic marker, e.g. a diploid heterozygous for an integrated plasmid segregates the plasmid in a Mendelian fashion 3 Most useful for surrogate genetics of yeast, e.g. can be used to introduce deletions, inversions and transpositions (see Botstein & Davis 1982)
epizomální (ori 2 µ)	YEp	10 <sup>3</sup> –10 <sup>5</sup> transformants per µg DNA	25–200	1% per generation	Novel recombinants generated <i>in vivo</i> by recombination with endogenous 2-µm plasmid	1 Readily recovered from yeast 2 High copy number 3 High transformation frequency 4 Very useful for complementation studies
replikující se (ars)	YRp	10 <sup>4</sup> transformants per µg DNA	1–20	Much greater than 1% per generation but can get chromosomal integration	Instability of transformants	1 Readily recovered from yeast 2 High copy number. Note that the copy number is usually less than that of YE <sub>p</sub> vectors but this may be useful if cloning gene whose product is deleterious to the cell if produced in excess 3 High transformation frequency 4 Very useful for complementation studies 5 Can integrate into the chromosome
centromérový	YCp	10 <sup>4</sup> transformants per µg DNA	1–2	Less than 1% per generation	Low copy number makes recovery from yeast more difficult than that of YE <sub>p</sub> or YRp vectors	1 Low copy number is useful if product of cloned gene is deleterious to cell 2 High transformation frequency 3 Very useful for complementation studies 4 At meiosis generally shows Mendelian segregation
umělý chromozom	YAC		1–2	Depends on length: the longer the YAC the more stable it is	Difficult to map by standard techniques	1 High-capacity cloning system permitting DNA molecules greater than 40 kb to be cloned 2 Can amplify large DNA molecules in a simple genetic background
transpoziční	Ty	Depends on vector used to introduce Ty into cell	~20	Stable, since integrated into chromosome	Needs to be introduced into cell in another vector	Get amplification following chromosomal integration

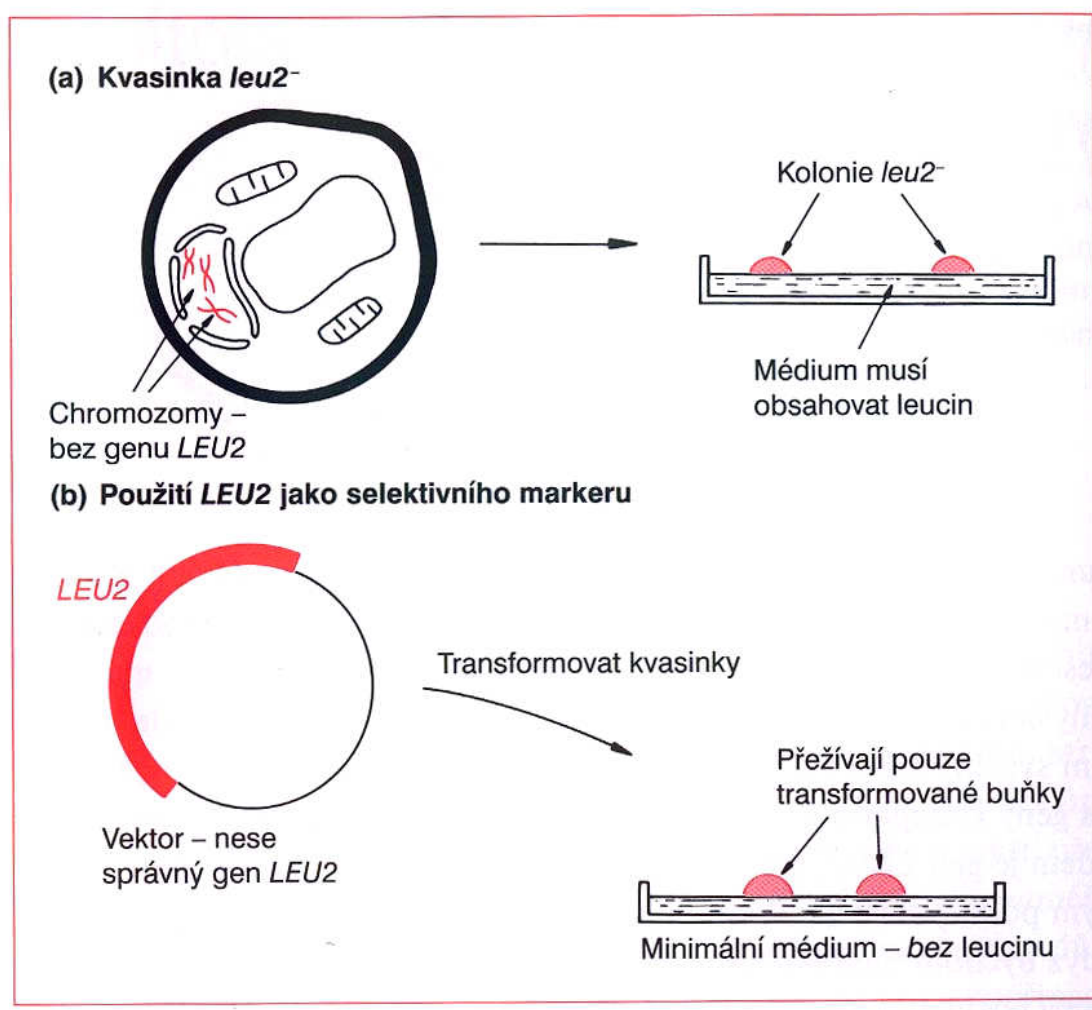
# Selektovatelné markery u kvasinek

Gen	Enzym	Selekce
HIS3	Imidazole glycerolphosphate dehydratase	histidine
LEU2	$\beta$ -Isopropylmalate dehydrogenase	leucine
LYS2	$\alpha$ -Aminoadipate reductase	lysine
TRP1	N-(5'-phosphoribosyl)-anthranilate isomerase	tryptophan
URA3	Orotidine-5'-phosphate decarboxylase	uracil

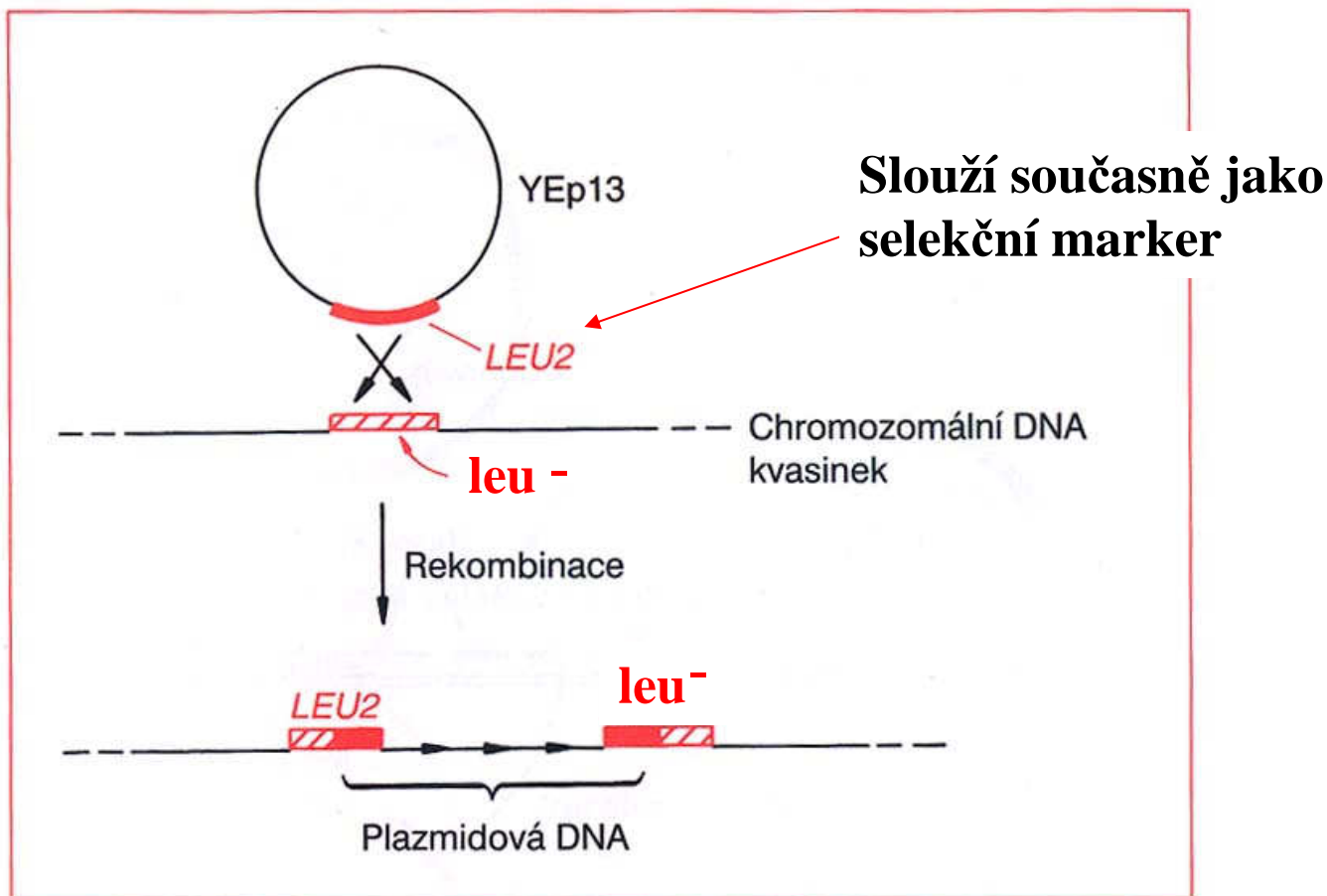
Pozitivní selekce na mediu bez příslušného faktoru

**G418 – rezistence k geneticinu (Kan<sup>R</sup>)**

# Využití genu *LEU2* jako selekčního markeru



## Začleňování epizomálních plazmidů do chromozomu kvasinek



## Výhody dostupnosti různých typů kvasinkových vektorů

- Všechny kvasinkové vektory mohou být použity k vytváření částečných diploidů nebo částečných polyploidů, přičemž genové sekvence zavedené do buňky mohou být buď začleněny do chromozomu nebo přetrvávat v extrachromozomálním stavu.
- Do klonovaných genů mohou být zaváděny *in vitro* mutace a pozměněné geny lze pak vrátit do kvasinky a **nahradit jimi** alely standardního typu.

# Reportérové geny

Gene	Protein	Size (amino acids)	Original source	Detection	Reference
<i>cat</i>	Chroloamphenicol acetyltransferase	219	<i>E. coli</i> Tn9 transposon	Acetylation of chloroamphenicol using $^{14}\text{C}$ acetyl-CoA	(Gorman, Moffat and Howard, 1982)
<i>lacZ</i>	$\beta$ -galactosidase	1024	<i>E. coli</i>	Conversion of colourless ONPG to a yellow product; XGal blue–white screening	(Norton and Coffin, 1985)
<i>gusA</i>	$\beta$ -glucuronidase	603	<i>E. coli</i>	Conversion of MUG in a fluorometric assay; XGluc blue–white screening	(Jefferson <i>et al.</i> , 1986)
<i>luc</i>	Luciferase	550	<i>Photinus pyralis</i> (firefly)	Oxidation of luciferin to produce light	(de Wet <i>et al.</i> , 1987)
GFP	Green fluorescent protein	238	<i>Aequoria victoria</i> (jellyfish)	Emits green fluorescence when exposed to blue or UV light	(Chalfie <i>et al.</i> , 1994)

ONPG – *o*-nitrophenyl- $\beta$ -D-galactopyranoside.

XGal – 5-bromo-4-chloro-3-indolyl- $\beta$ -D-galactopyranoside.

MUG – 4-methylumbelliferyl  $\beta$ -D-glucuronide.

XGluc – 5-bromo-4-chloro-3-indolyl- $\beta$ -D-glucuronide.

# Exprese genů v kvasinkách

- Pro účinnou expresi je žádoucí, aby klonované sekvence byly pod kontrolou kvasinkových promotorů – ty mají určitá specifika. Vektory proto mají promotory z kvasinek.
- Poločas mRNA (1-100 min) je silně ovlivněn netranslatovanými sekvencemi na 5' a 3' konci – jejich odstranění poločas zvýší
- Kvasinky mají jiné využívání kodonů než bakterie nebo vyšší eukaryota. Při chemické syntéze genů je třeba volit kodony, které jsou čteny (**96% aminokyselin v kvasinkových proteinech je kódováno jen 25-ti z 61 možných kodonů**)
- Exkrece proteinů: signální sekvence jsou dlouhé 20-90 aa. Přesná pravidla nejsou známa – u některých proteinů se exkrece nedáří. Sekrece zabrání rozkladu proteinu v cytoplazmě – proteolýze lze zabránit též změnou aa na N-konci (zábrana ubiquitace)

# Exprese genů v kvasinkách – pokrač.

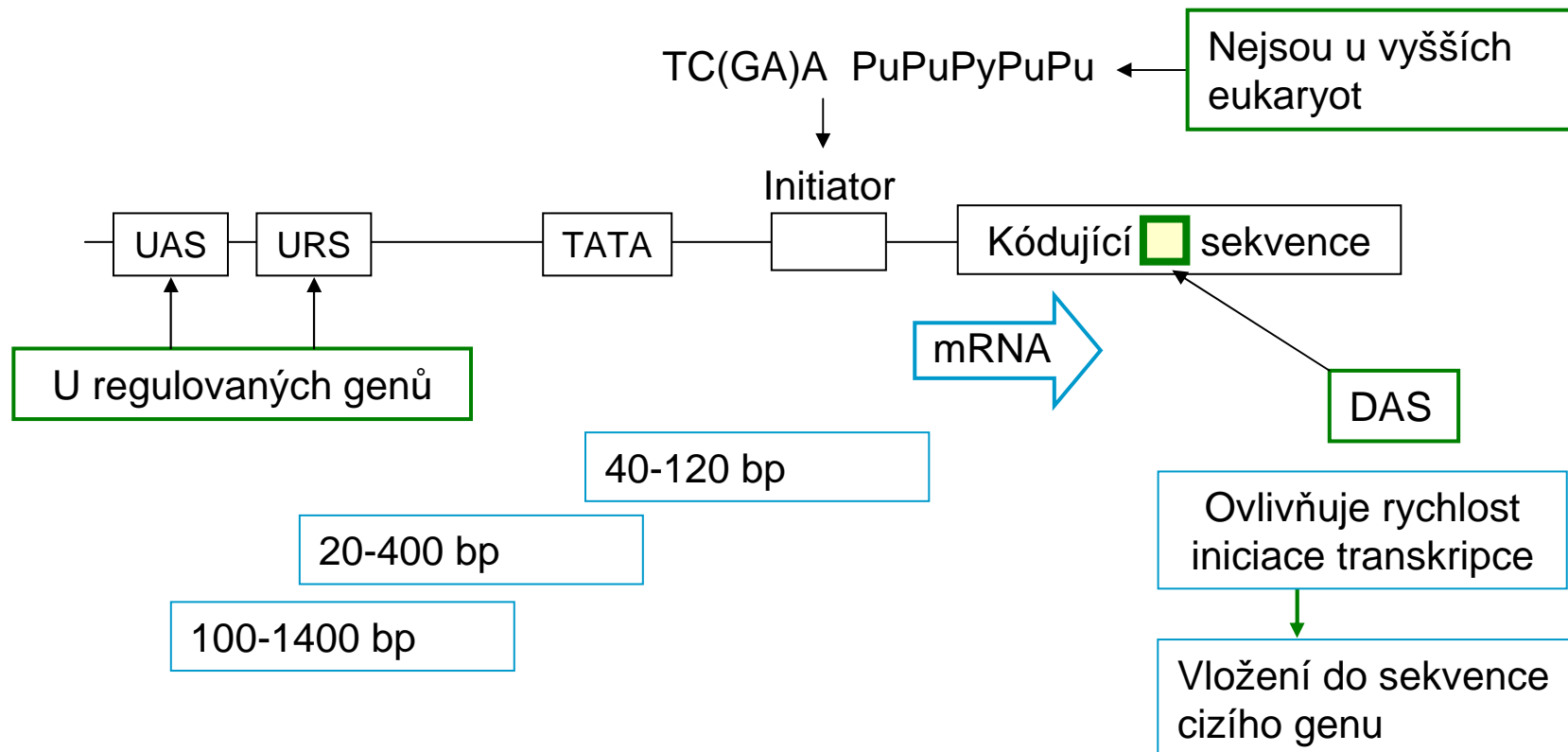
- **Glykozylace** – dochází ke glykozylaci cizích proteinů, ale struktura a sekvence oligosacharidů připojovaných na proteiny je odlišná než v přirozených hostitelích – to může mít důsledky pro stabilitu, imunogenitu a výslednou lokalizaci v tkáních (např. při terapeutickém používání)
- **Stabilita proteinů.** Rychlá degradace proteinů po jejich syntéze nebo po rozbití buněk a purifikaci endoproteinázami, karboxypeptidázami a aminopeptidázami přítomnými ve vakuolách. Byla zkonstruována řada mutantních kmenů s pozměněnou aktivitou těchto enzymů.
- **Sestřih.** Introny mají obecné rysy (5' GU – AG 3') a další konsenzuální sekvence. U kvasinek je před 3'místem sestřihu sekvence, která chybí u vyšších eukaryot.

# Struktura kvasinkového promotoru

4 elementy:

1. TC(G/A)A a PuPuPyPuPu jsou u více než poloviny známých kvasinkových promotorů. Tyto sekvence nejsou u vyšších eukaryot, což ukazuje na rozdílný mechanismus jejich transkripčního aparátu.
2. TATA box, oblast 20-120 nukleotidů před místem iniciace.
3. Sekvence umístěné proti směru transkripce podílející se na regulaci genů:
  - A. **sekvence aktivující transkripci (UAS)** – vazba pozitivního regulačního proteinu na UAS zvyšuje rychlosť transkripce, zatímco delece UAS transkripci potlačí. Důležitým strukturním rysem UAS je přítomnost jedné nebo více oblastí s dvojitou symetrií.
  - B. **sekvence reprimující transkripci (URS)**. Vazba negativního regulačního proteinu na URS snižuje rychlosť transkripce genů, které jsou regulovány negativně.
4. Sekvence umístěné uvnitř samotného genu, které se označují jako aktivující sekvence umístěné po směru transkripce (**downstream activating sequences, DAS**). Nízká množství heterologních proteinů odráží nízké množství mRNA jako důsledek nízkého stupně iniciace transkripce. Např. vložení aktivující sekvence umístěné po směru transkripce genu PGK obnovuje rychlosť transkripce mRNA.

# Struktura typického kvasinkového promotoru



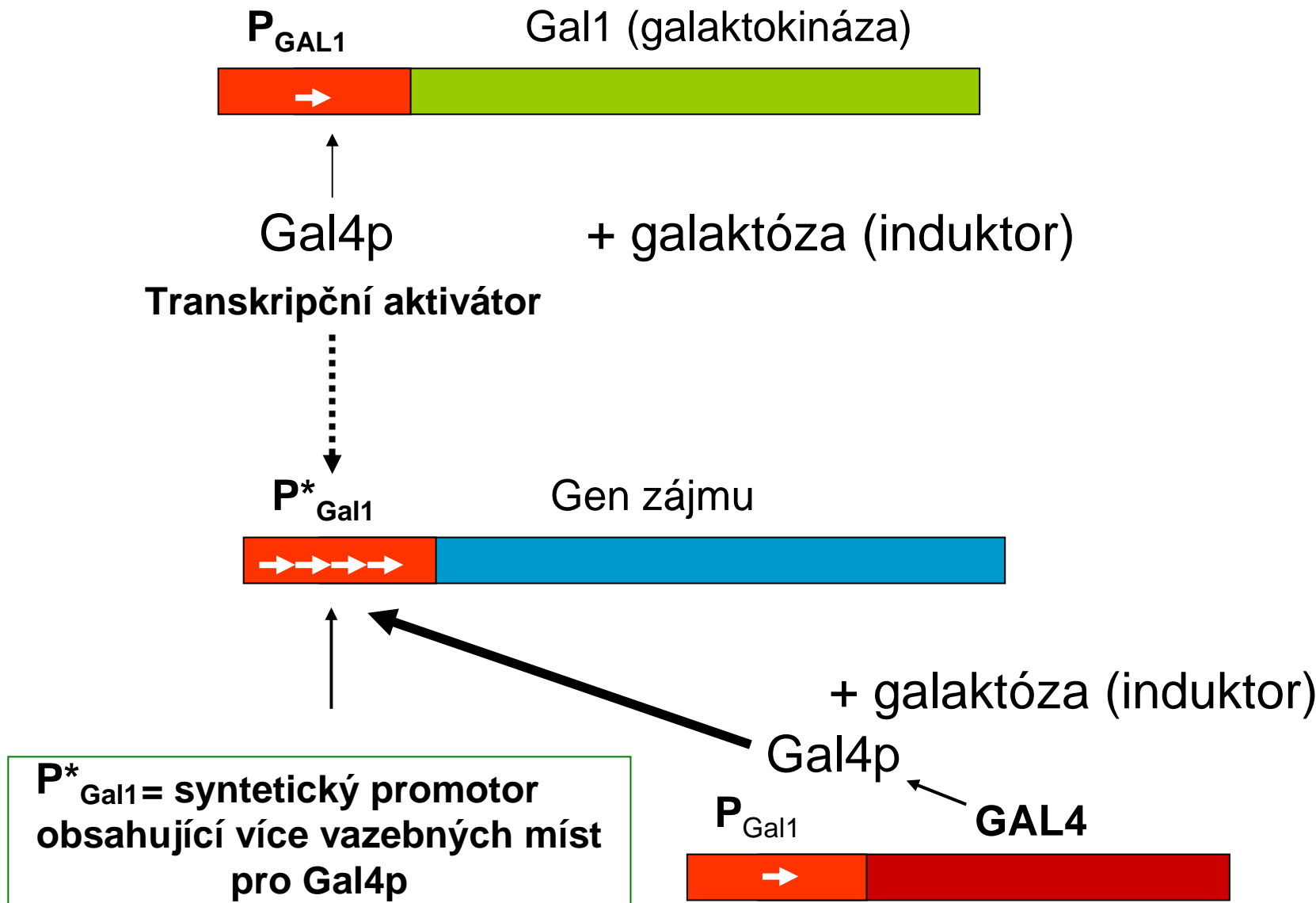
Příklady konstitutivních kvasinkových promotorů používaných v expresních vektorech

ADHI – alkoholdehydrogenáza  
PGK – fosfoglycerolkináza  
PHO5 – kyselá fosfatáza  
alfa-faktor (+ signální sekvence pro exkreci)

## Promotory *S. cerevisiae* využívané v expresních vektorech

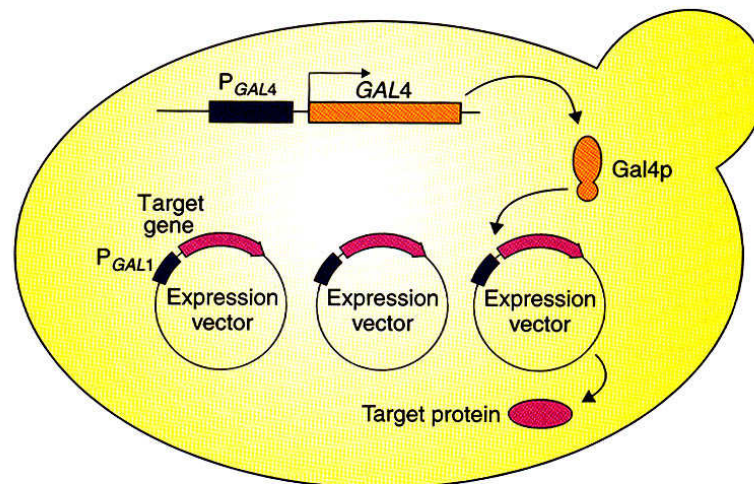
Promotor	Podmínky pro expresi	Tvorba produktu
Acid phosphatase ( <i>PH05</i> )	Phosphate-deficient medium	Inducible
Alcohol dehydrogenase I ( <i>ADH1</i> )	2–5% Glucose	Constitutive
Alcohol dehydrogenase II ( <i>ADH11</i> )	0.1–0.2% Glucose	Inducible
Cytochrome <i>c</i> <sub>1</sub> ( <i>CYC1</i> )	Glucose	Repressible
Gal-1-P Glc-1-P uridyltransferase	Galactose	Inducible
<u>Galactokinase (<i>GAL1</i>)</u>	Galactose	Inducible
Glyceraldehyde-3-phosphate dehydrogenase ( <i>GAPD</i> , <i>GAPDH</i> )	2–5% Glucose	Constitutive
Metallothionein ( <i>CUP1</i> )	0.03–0.1 mM copper	Inducible
Phosphoglycerate kinase ( <i>PGK</i> )	2–5% Glucose	Constitutive
Triose phosphate isomerase ( <i>TPI</i> )	2–5% Glucose	Constitutive
UDP galactose epimerase ( <i>GAL10</i> )	Galactose	Inducible

# Gal systém *S. cerevisiae* využitý pro expresi genů



# Exprese genů indukovaná galaktózou

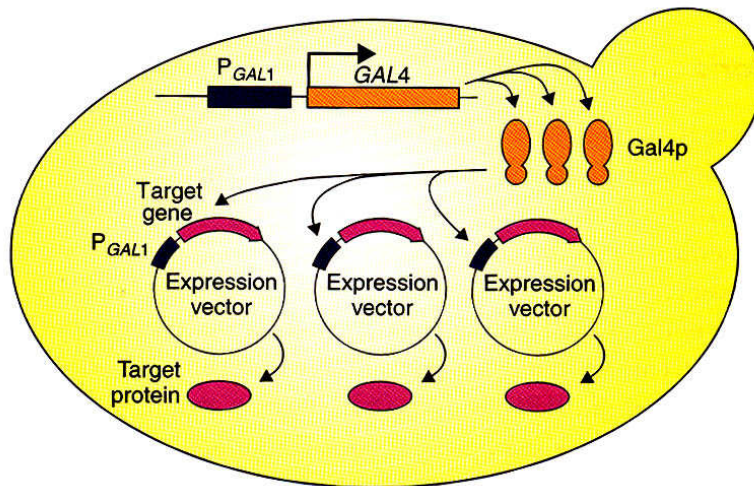
## A. Gal4p vytvářený z vlastního promotoru



$P_{GAL4}$

nízká hladina  
Gal4p, málo  
cílového produktu

## B. Gal4p vytvářený z promotoru Gal1



$P_{GAL1}$

vysoká hladina  
Gal4p, hodně  
cílového produktu

# Sekrece proteinů v kvasinkách

Hlavní rysy sekretovaných proteinů:

- jsou syntetizovány na endoplazmatickém retikulu
- z ER jsou transportovány do Golgiho aparátu, kde jsou upraveny a zabaleny do sekrečních váčků
- Fúze sekrečních váčků s plazmatickou membránou se děje konstitutivně nebo jako odpověď na externí signál
- Nakonec jsou lokalizovány na buněčném povrchu nebo exportovány z buňky

Proteiny přirozeně sekretované do růstového media

a) **párovací feromony** (a-faktor,  $\alpha$ -faktor)

b) **killer toxin** (proteinový produkt dsRNA n. dsDNA plazmidu n. VLP; molekuly působící toxicky na jiné kmeny kvasinek).

- Polypeptidy určené k sekreci mají hydrofobní N-konec, který je odpovědný za translokaci do endoplazmatického retikula.
- N-konec je obvykle tvořen 20 aminokyselinami a odštěpen ze zralého proteinu uvnitř endoplazmatického retikula.

Bylo dosaženo sekrece řady ne-kvasinkových polypeptidů z rekombinantrních plazmidů, ale pravidla pro sekreci nejsou zcela jasná.

# Problémy při exprese některých proteinů v *S. cerevisiae*

- nízká exprese klonovaných genů, nízký výtěžek proteinu
- hyperglykozylace heterologních proteinů
- pozměněný transport sekretovaných proteinů  
(zadržení v periplazmatickém prostoru)
- tvorba vysoké koncentrace alkoholu, který usmrcuje buňky a sniže výtěžek proteinů

# Cílení proteinů do jádra

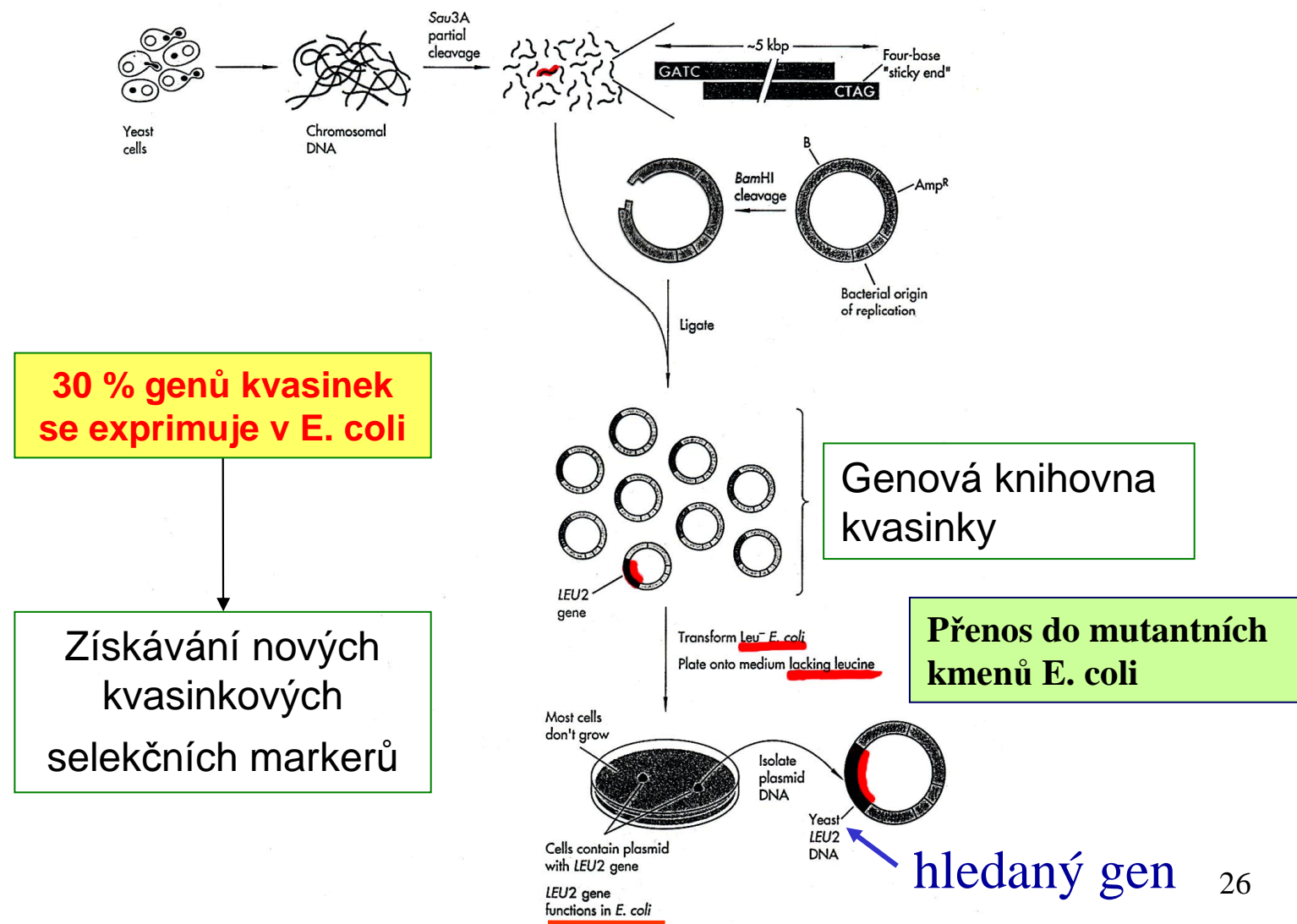
Jádro kvasinky obsahuje sadu proteinů, které jsou syntetizovány v cytoplazmě.

Pro objasnění mechanismu týkajícího se lokalizace proteinů v buňce byly zkonztruovány hybridní geny fúzí kvasinkového Matalfa genu, kódujícího předpokládaný jaderný protein, a genu lacZ z *E. coli*. Segment genového produktu MATalfa, který byl 13 aminokyselin dlouhý, byl schopen usměrnit  $\beta$ -galaktozidázovou aktivitu do jádra. To bylo potvrzeno imunofluoroscencí. Podobné sekvence byly zjištěny u jiných proteinů a označeny jako

**nuclear localization signals (sequences) (NLS)**

Podle současného modelu pro import jaderných proteinů jsou proteiny obsahující NLS rozpoznány specifickými receptory (**nuclear transport receptors**) v cytoplazmě. Komplex NLS-receptor se pohybuje k jaderným pórům, které otvírá reakcí vyžadující ATP a dovoluje, aby protein vstoupil do jádra.

# Klonování kvasinkových genů v buňkách *E. coli* s využitím komplementace

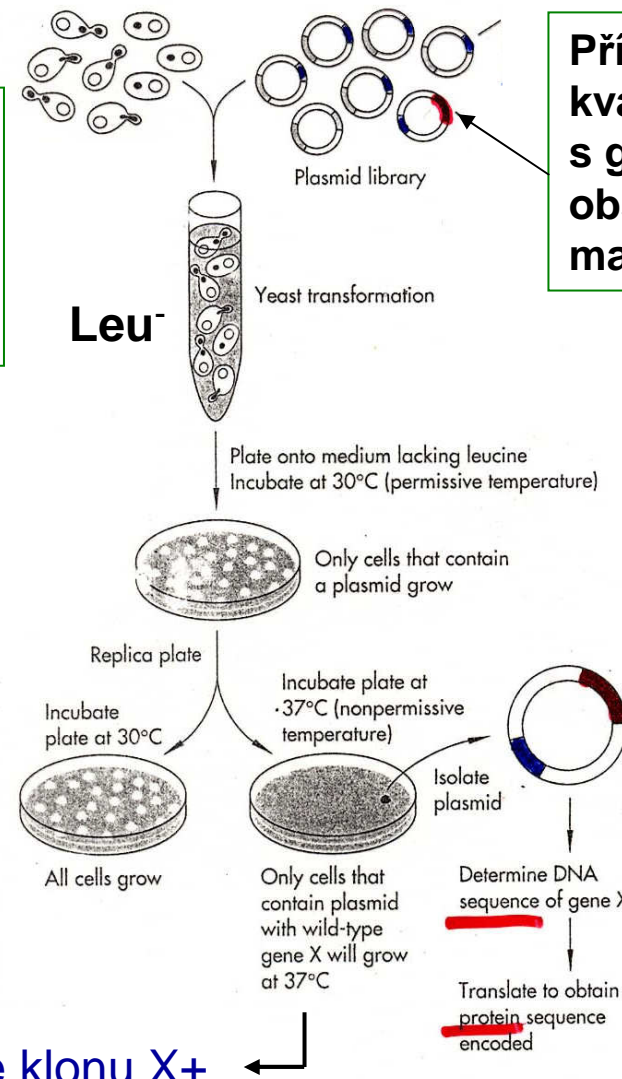


# Klonování kvasinkových genů na základě genetické komplementace

X<sub>ts</sub>

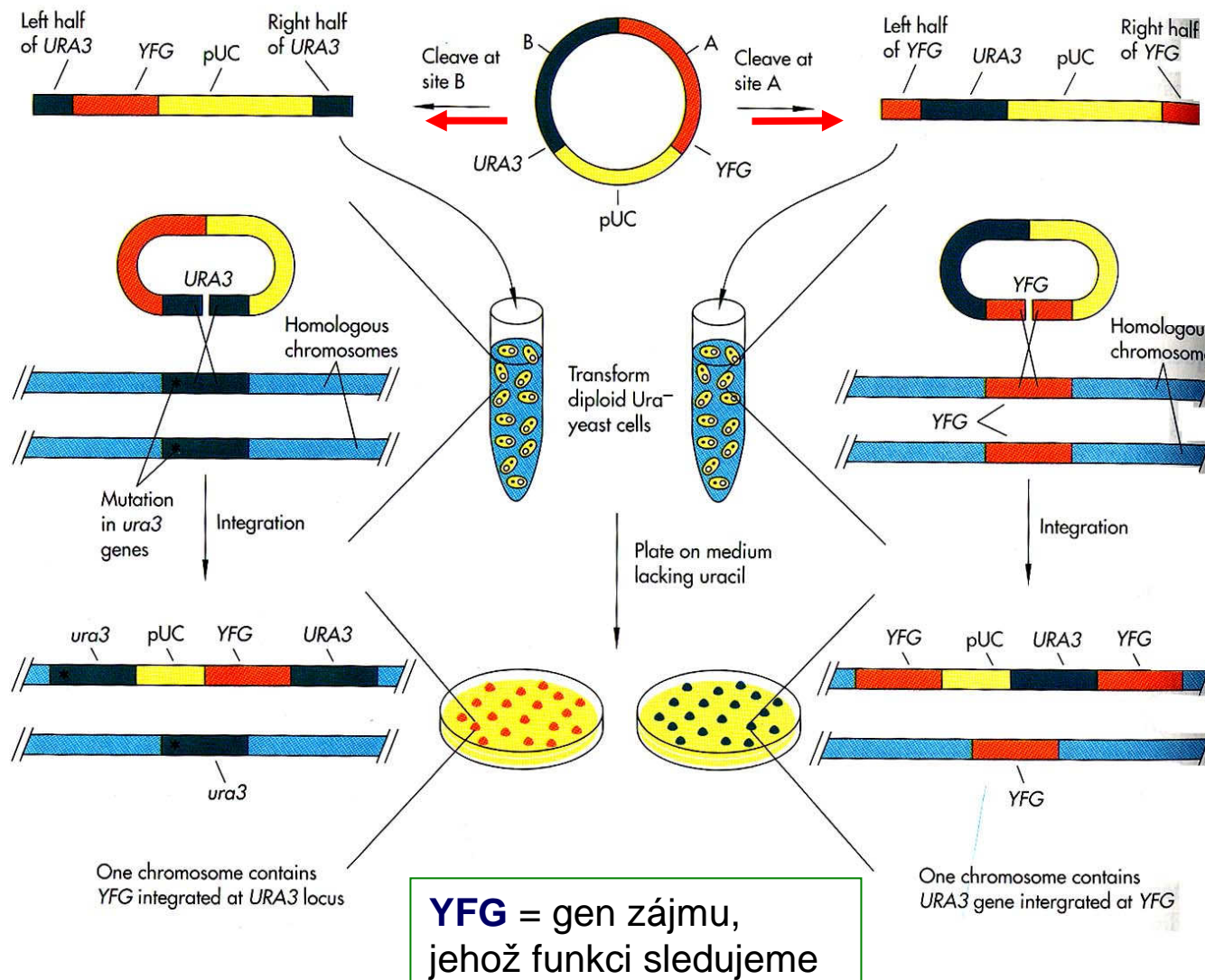
recipient: kvasinkový kmen nesoucí ts mutaci v genu X a mutaci v genu leu2 – roste jen při 30°C

Příp. ztráta nějakého znaku při vyšších teplotách



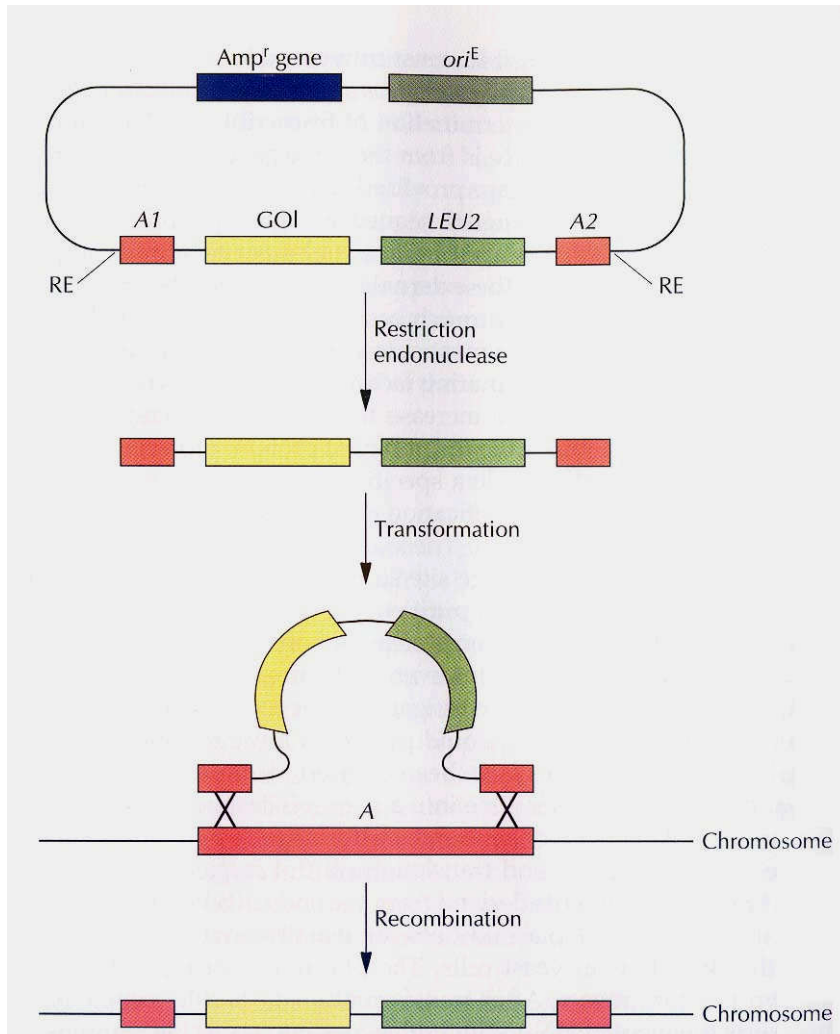
Příprava genové knihovny z kvasinkového kmene s genem X(wt) ve vektoru obsahujícím jako selekční marker LEU2

# Začleňování genů homologní rekombinací



Linearizace plazmidu v místě homologie zvyšuje frekvenci začlenění asi 100x 28

# Vnášení genů do chromozomu kvasinek pomocí integrativních vektorů

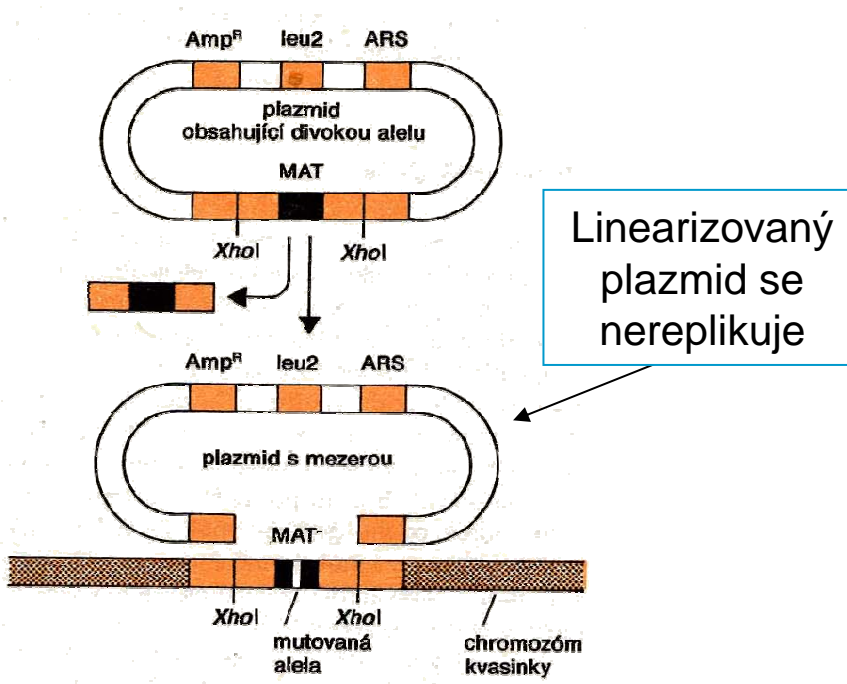


Kyvadlový vektor  
připravený v *E. coli*

GOI = gen zájmu

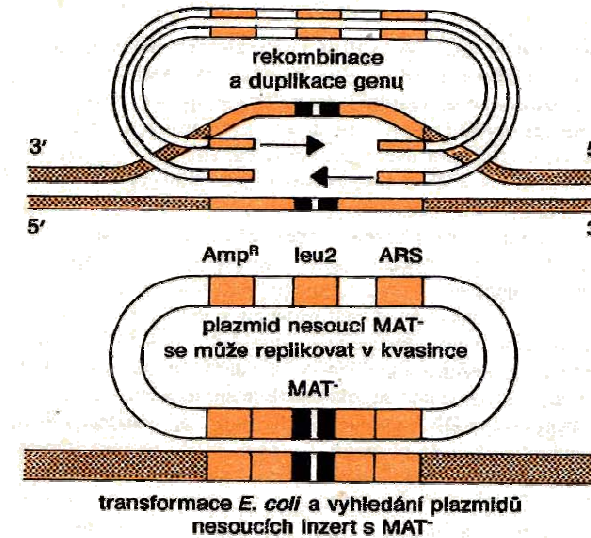
*A1, A2* =  
nesenciální geny

# Vyprošťovací replikující se vektor



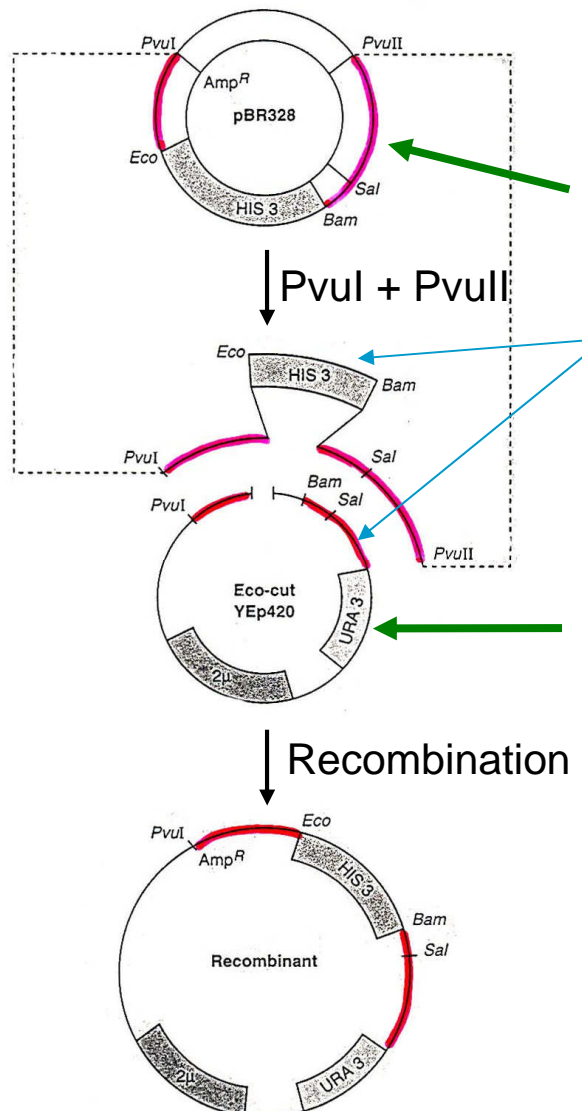
Část genu mat je vyštěpena,  
hraniční sekvence jsou  
ponechány

Linearizovaný  
plazmid se  
nereplikuje



Homologní rekombinace a  
cirkularizace plazmidů, jejich  
izolace a přenos do *E. coli*,  
**studium mutantní alely MAT**

# Rekonstrukce plazmidu homologní rekombinací v kvasinkové buňce



Vložení nového selekčního markeru do plazmidu, překlonování genu zájmu do jiného typu vektoru

Plazmid, který se v kvasince nereplikuje

společně přeneseny do kvasinky transformací

Plazmid, který se v kvasince replikuje

Selekce klonů na *HIS*3, případně na *URA*3

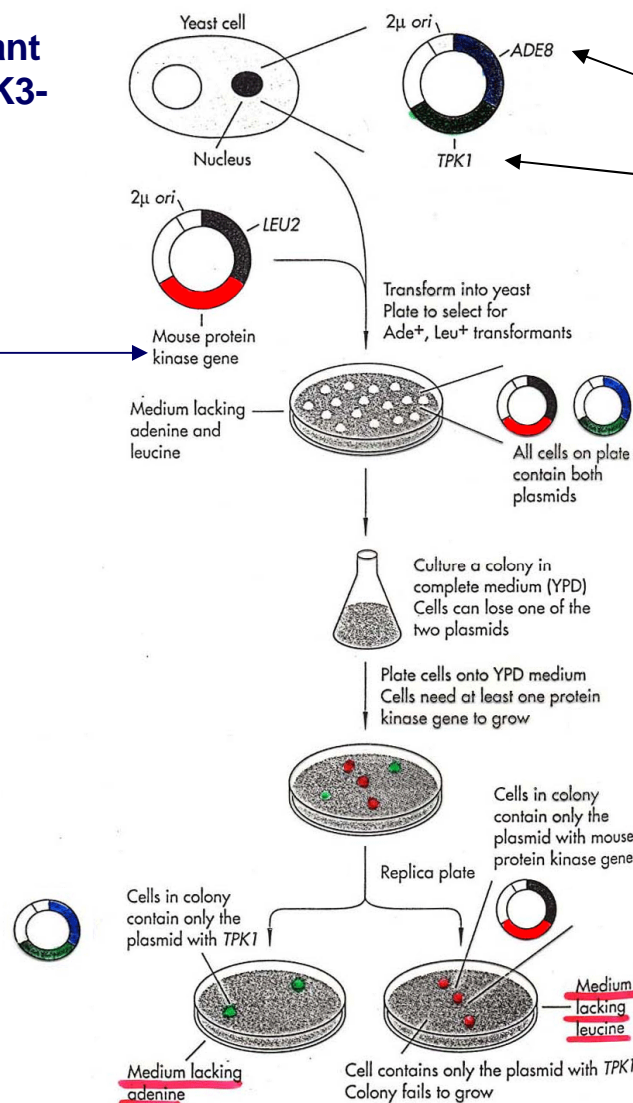
# Vytěsnění a záměna plazmidů

## Plasmid shuffle

# Studium funkce mutantních a cizích genů

Trojnásobný mutant  
TPK1-, TPK2-, TPK3-  
ura+, his+, trp+,  
ade-, leu-

Myší cAMP  
dependentní PK



Umožňuje růst na mediu bez adeninu

Zajišťuje životaschopnost buňky

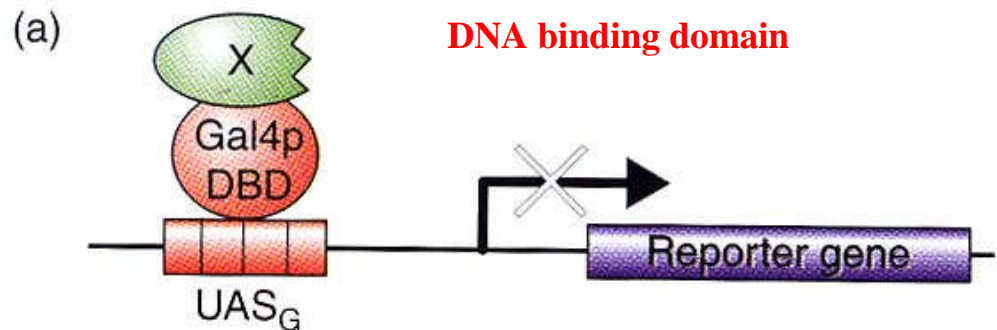
Selekce buněk obsahujících oba plazmidy – půda bez ade a leu

Kultivace buněk  
za neselektivních podmínek

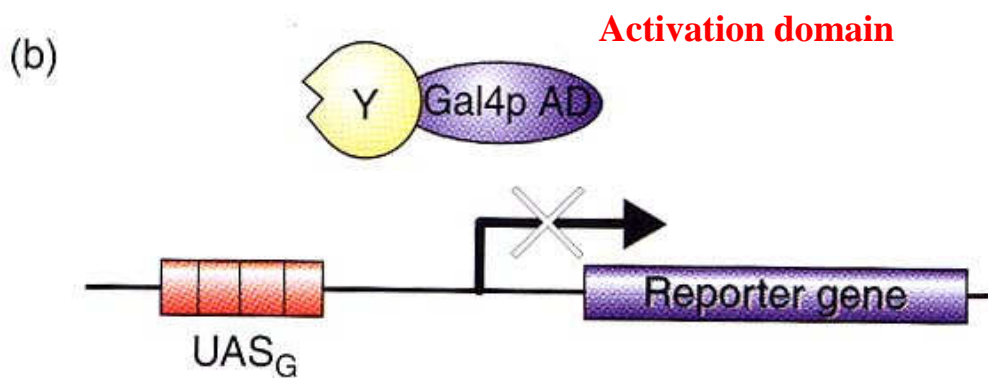
Buňka si musí alespoň jeden z plazmidů s PK podržet

**Závěr: Gen pro myší proteinkinázu může nahradit gen TPK1-**

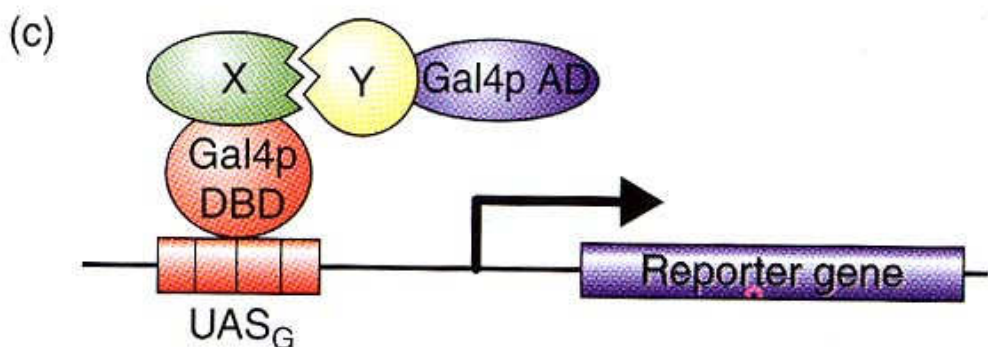
# Dvouhybridní systém ke studiu interakce proteinů



Hybridní protein Gal4p-X se váže na promotor, ale není schopen aktivovat transkripci reportérového genu

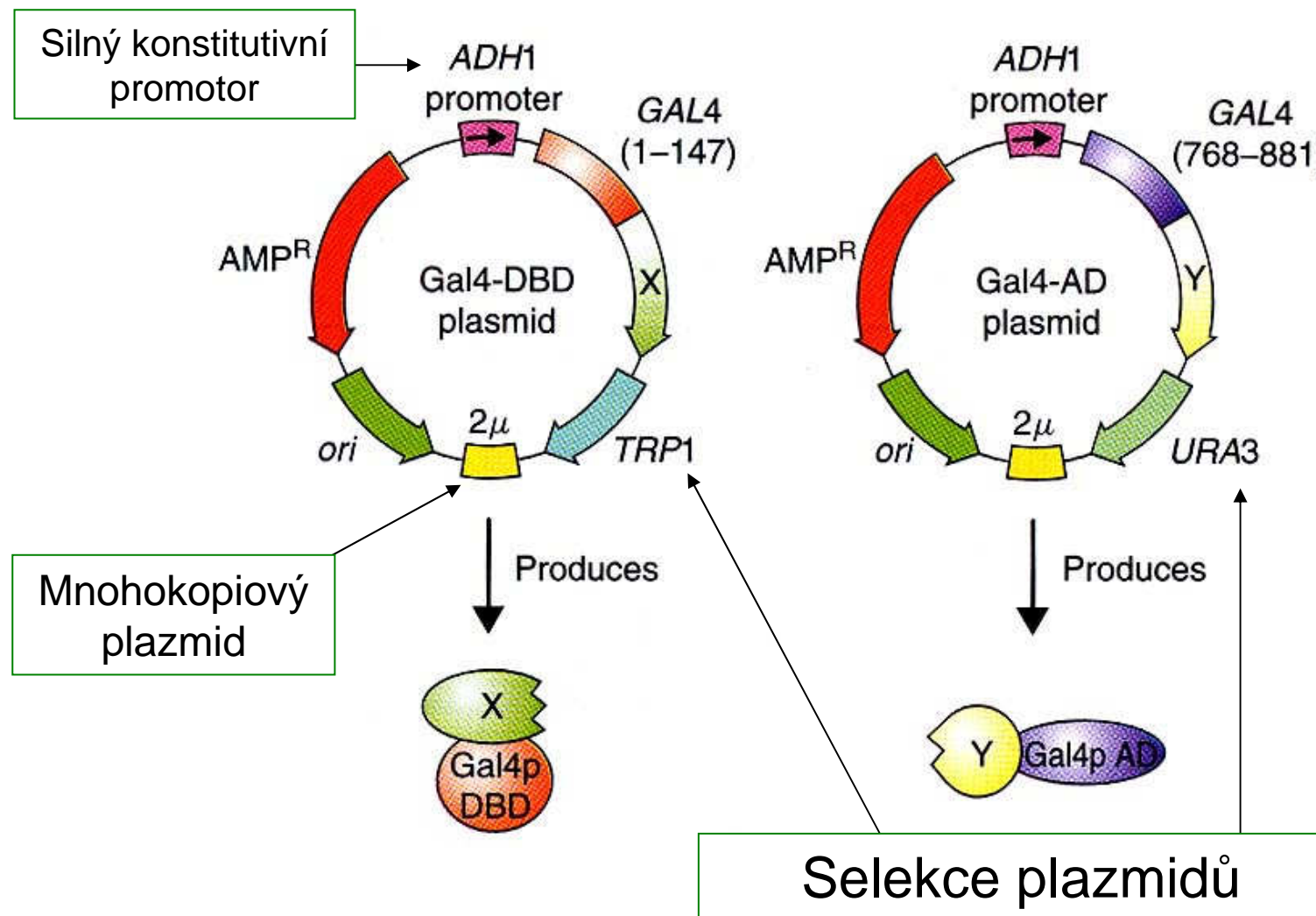


Hybridní protein Gal4p-Y se není schopen vázat na promotor a tudíž není schopen aktivovat transkripci

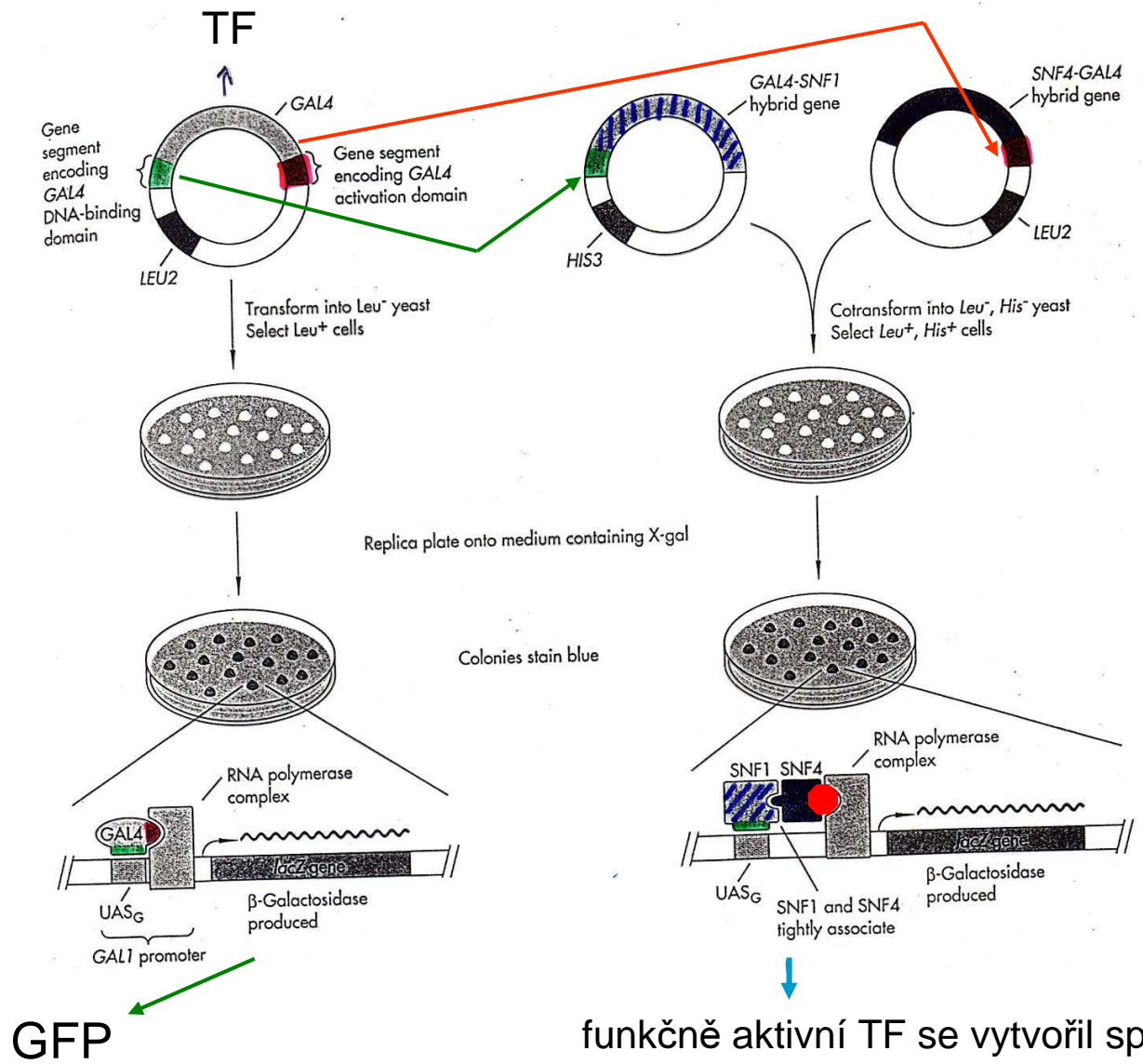


Interakce hybridních proteinů Gal4p-X::Gal4p-Y aktivuje transkripci

# Plazmidy určené k vytváření fúzních proteinů s doménami Gal4p (DBD a AD)



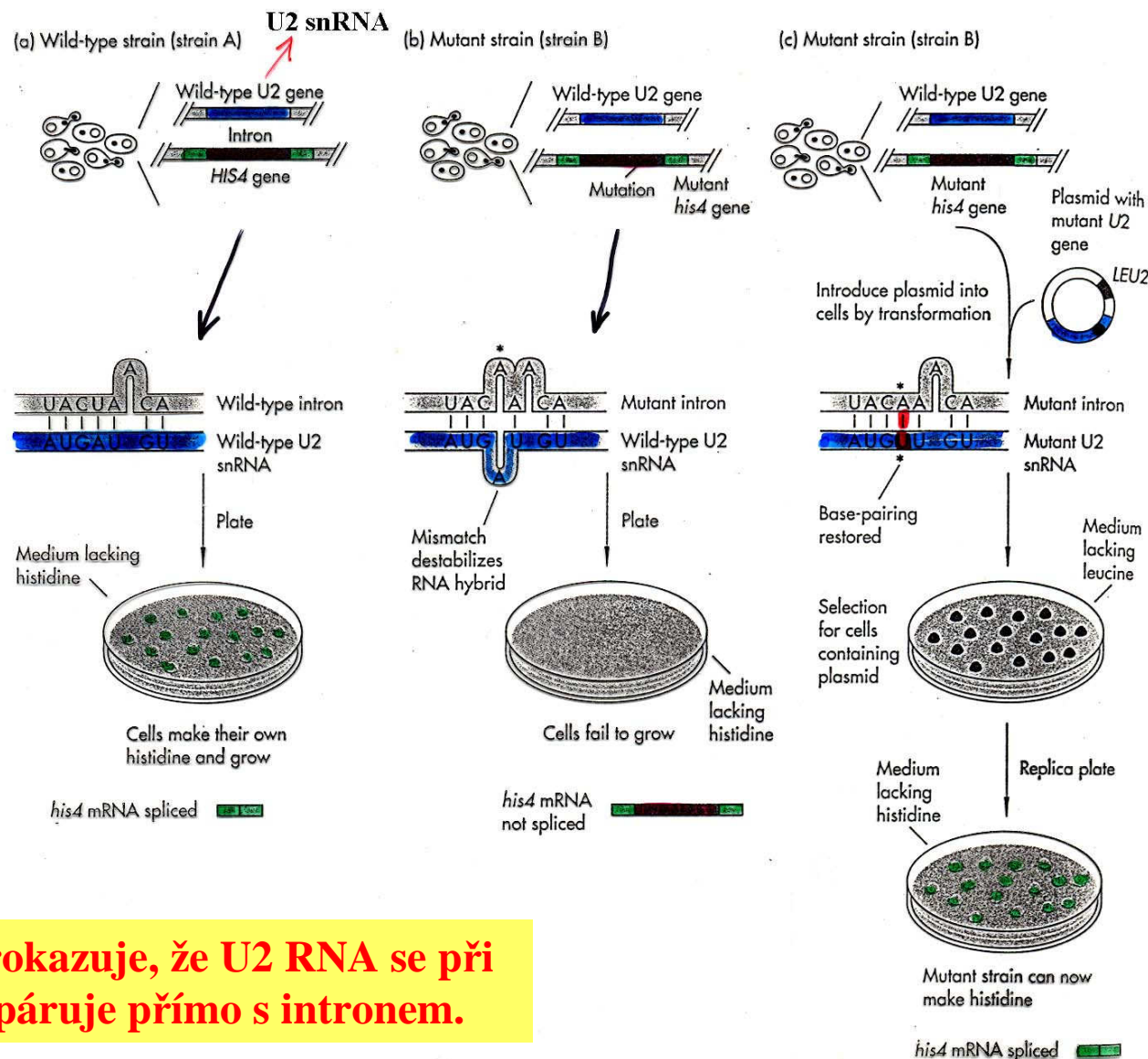
# Vyhledání genů jejichž produkty interagují



SNF1 a SNF4  
asociují za vzniku  
produkту  
s protein-kinázovou  
aktivitou

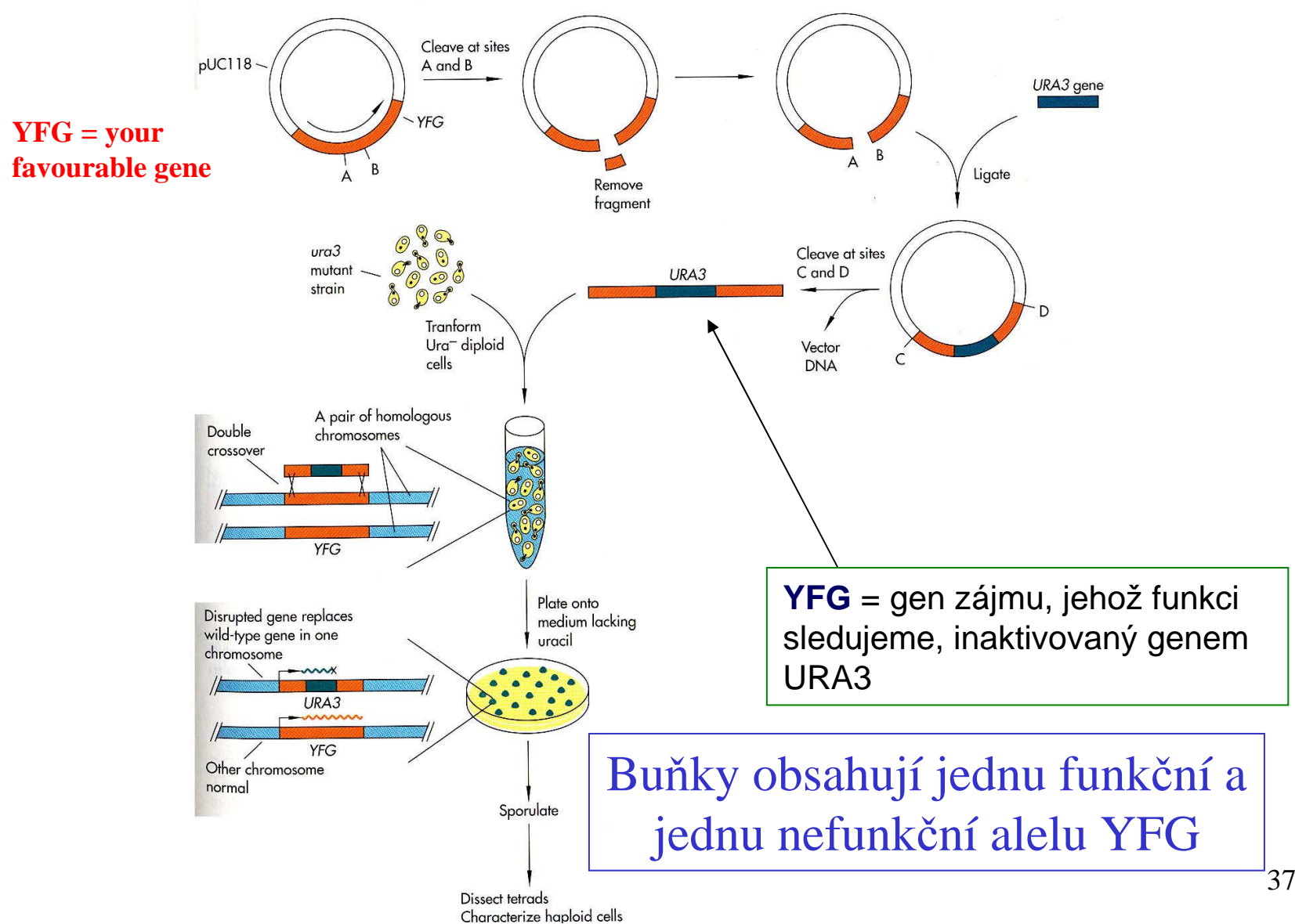
funkčně aktivní TF se vytvořil spojením proteinů SNF1 a  
SNF4 – tj. tyto proteiny vzájemně interagují

# Genetický důkaz funkce U2 snRNA

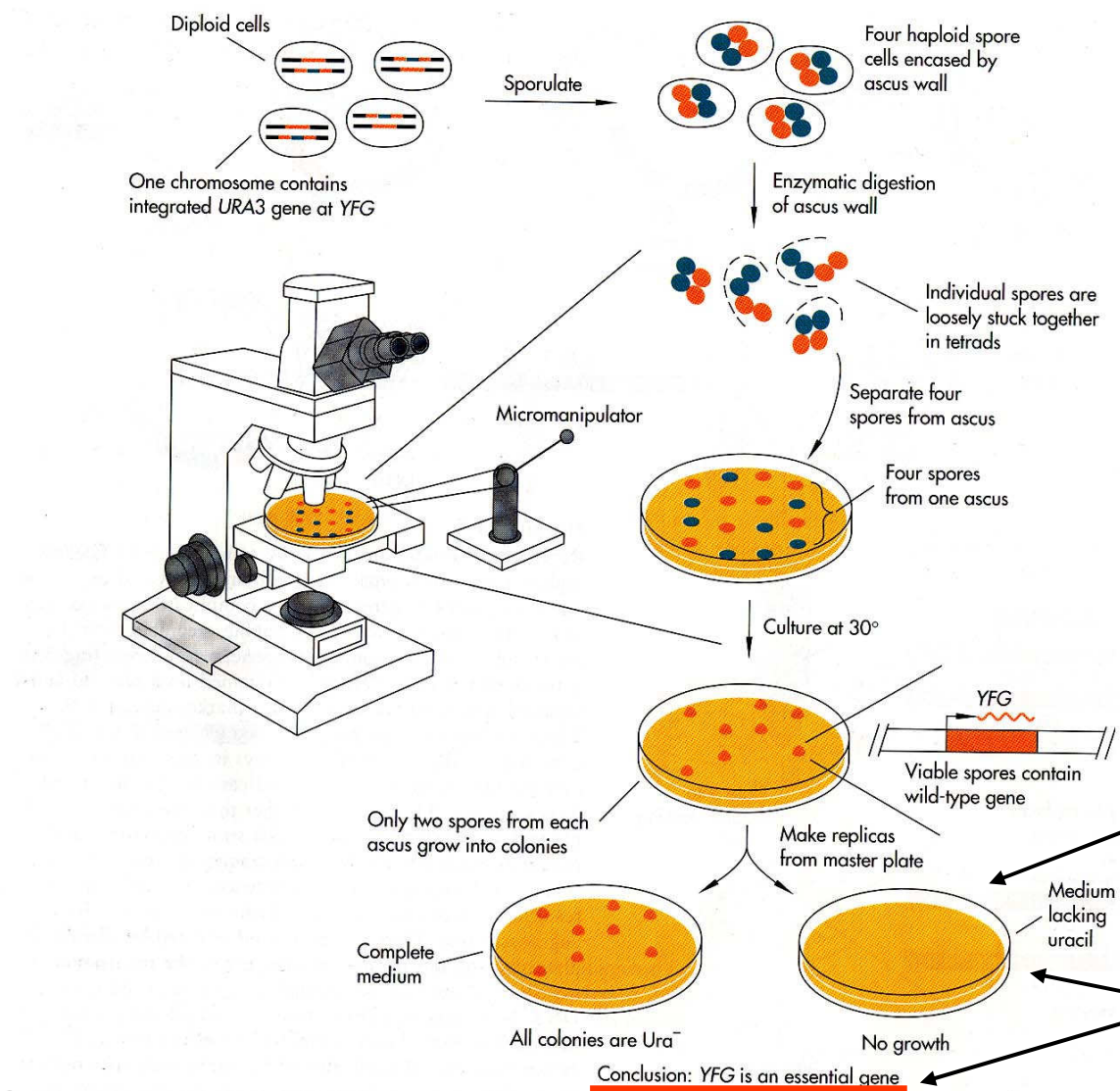


Pokus prokazuje, že U2 RNA se při sestřihu páruje přímo s intronem.

# Náhrada chromozomového genu (gene knockout)



# Tetrádová analýza: sporulací dochází k separaci mutantní a standardní alely



Pokud je funkce genu *YFG* nutná pro přežití, spory nebudou schopny růst na plotnách bez uracilu, neboť gen *URA3* je součástí pouze přerušených (inaktivovaných) genů.

Potvrzení inzerce *URA3* do *YFG*

## **Rekombinantní proteiny vytvářené v expresních systémech *S. cerevisiae***

### VACCINES

Hepatitis B virus surface antigen  
Malaria circumsporozoite protein  
HIV-1 envelope protein

### DIAGNOSTICS

Hepatitis C virus protein  
HIV-1 antigens

### HUMAN THERAPEUTIC AGENTS

Epidermal growth factor  
Insulin  
Insulin-like growth factor  
Platelet-derived growth factor  
Proinsulin  
Fibroblast growth factor  
Granulocyte-macrophage colony-stimulating factor  
 $\alpha_1$  antitrypsin  
Blood coagulation factor XIIIa  
Hirudin  
Human growth factor  
Human serum albumin

## Kvasinka *Pichia pastoris*

- Má schopnost metabolizovat metanol jako jediný zdroj uhlíku a energie
- Metabolismus metylotrofů umožňuje vytvářet „single-cell“ proteiny – krmivo pro dobytek bohaté na proteiny

# Heterologní exprese proteinů v metylotrofní kvasince – *Pichia pastoris*

Další druhy: *Kluyveromyces lactis*, *Hansenula polymorpha*

1. Jednoduché techniky pro genetickou manipulaci u *Pichia*, podobné jako u *S. cerevisiae*.
2. Kultivace za definovaných podmínek včetně velkokapacitní kultivace
3. Schopnost tvořit proteiny ve velkém množství, buď intra- nebo extracelulárně (samy tvoří jen málo vlastních exkretovaných proteinů)
4. Schopnost provádět eukaryotické posttranslační modifikace (glykozylace, tvorba disulfidických můstků a proteolytický procesing).
5. Dostupnost tohoto systému pro komerční účely.

# Vektory pro expresi v *Pichia*

- a) jsou kyvadlové (+ *E. coli*)
- b) mají markery pro *E. coli* a pro kvasinky (ura, his, ade atd)
- c) mají expresní kazetu odvozenou z genu AOX
  - 5'-promotorové sekvence
  - terminátor transkripce
  - mezi promotorem a terminátorem je MCS
- d) u sekrečních vektorů jsou signály z kyselé fosfatázy (PHO) nebo alfa-MAT

Hostitelské kmeny:

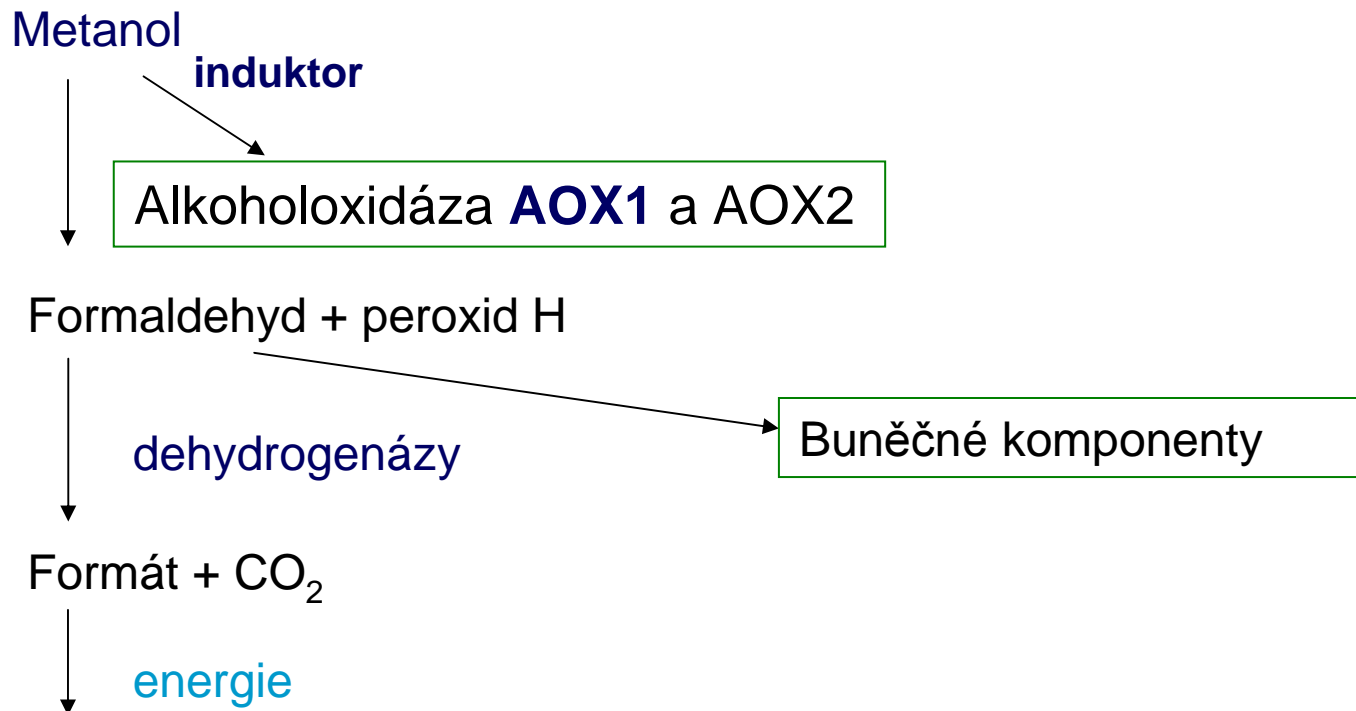
- nesou auxotrofní mutace pro selekci vektorů
- jsou proteáza deficientní

Expressní vektory často inzertovány do chromozomu

Vektory s vícenásobnou kopíí cizorodého genu

- a) kopie genu uspořádány „hlava k patě“
- b) vektor obsahující gen kanR – amplifikace pomocí G418

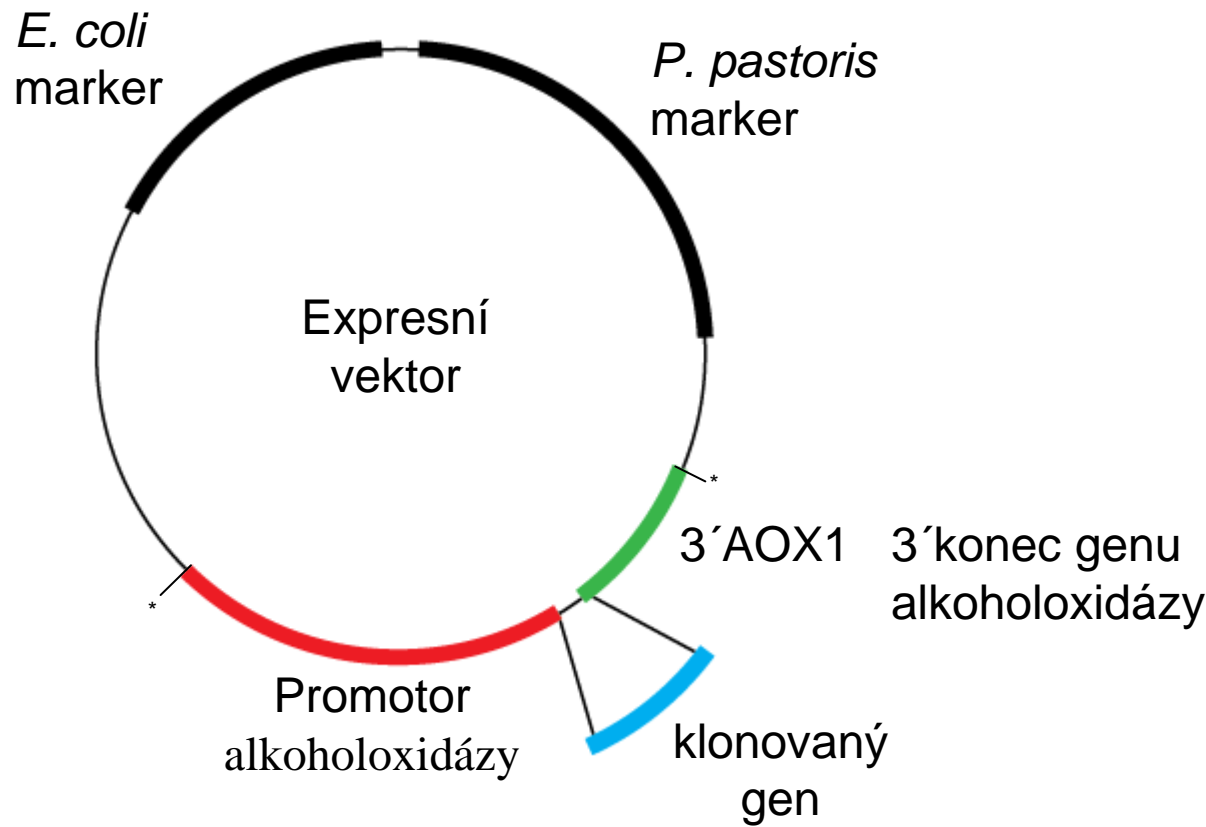
# Metabolizmus metanolu



Po indukci metanolem je 5 % transkriptů tvořeno genem pro alkoholoxidázu, která dosahuje až 30 % všech proteinů v buňce. Exprese klonovaných genů se zvýší až 1000x.

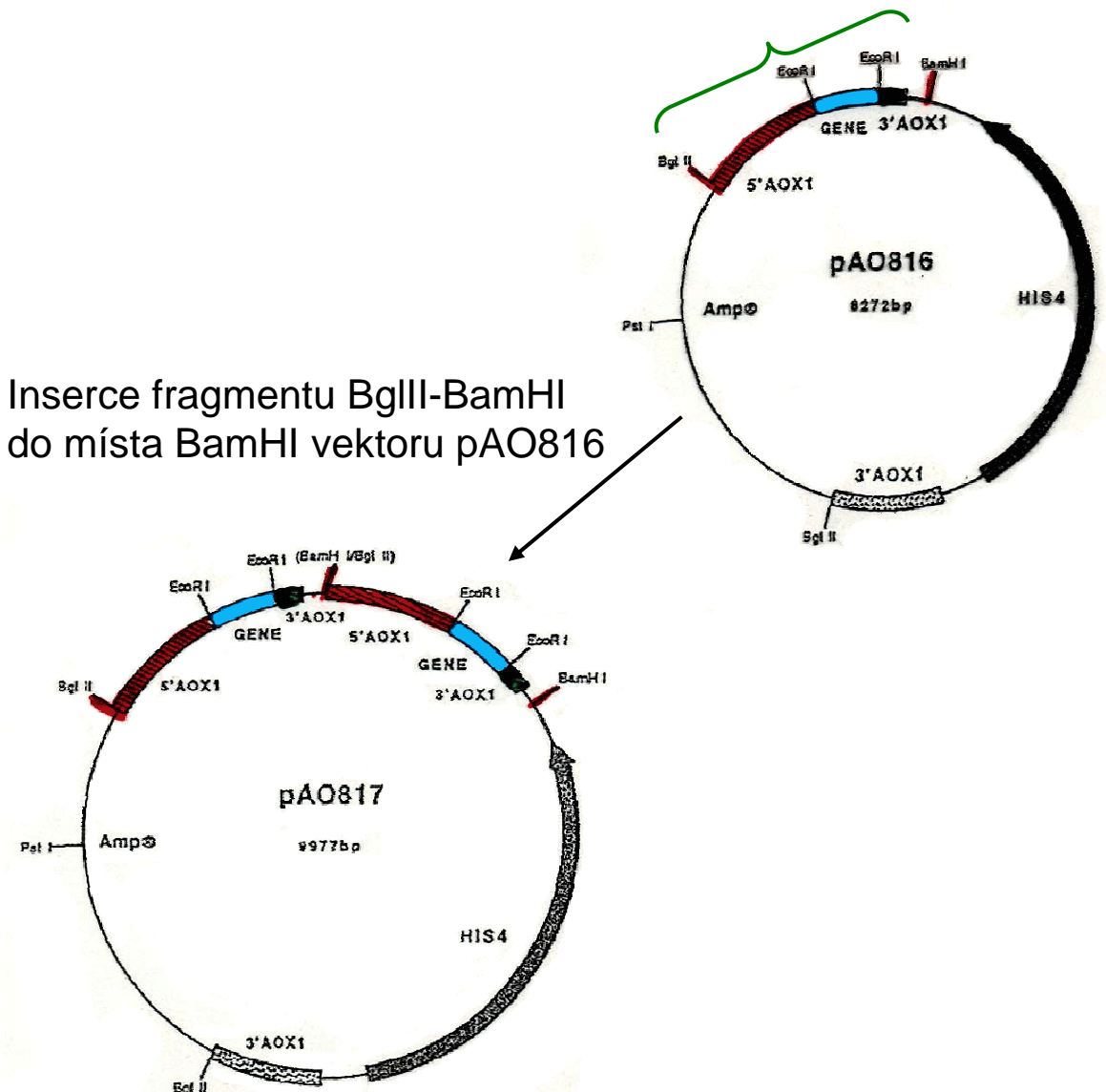
V přítomnosti jiných substrátů (glukóza, glycerol, etanol) je hladina AOX nízká – promotor je přísně regulován (nepropouští)

# Expresní vektor *P. pastoris*



Geny jsou klonovány za silný metanolem indukovatelný promotor genu alkoholoxidázy (AOX1) vložený do expresních vektorů. Syntéza proteinu je spouštěna přidáním metanolu do média, které neobsahuje jiný zdroj uhlíku - metanol tak tvoří jediný zdroj uhlíku

# Konstrukce vektorů s kopiemi expresní kazety



# Začlenění genu klonovaného v integračním vektoru do specifického místa chromozomu *P. pastoris*

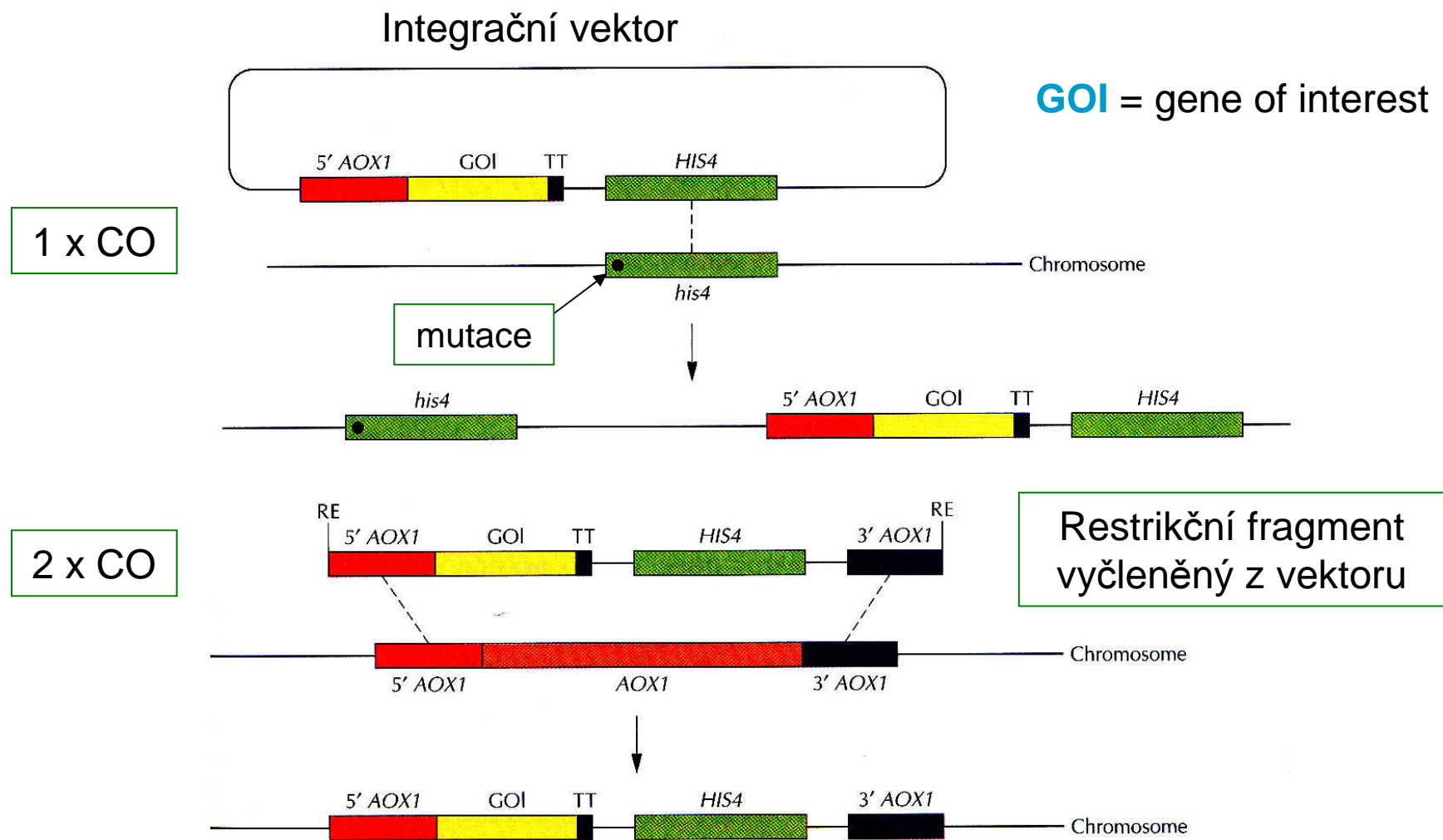


Table 3: Heterologous proteins expressed in *P. pastoris*

Protein	Comments: mode, amount, signal sequence	Reference
<b>Bacteria</b>		
<i>Bacillus licheniformis</i> $\alpha$ -amylase	S, 2.5 g l <sup>-1</sup> , SUC2	[51,60]
<i>Bacillus stearothermophilus</i> D-alanine carboxypeptidase	S, 100 mg l <sup>-1</sup> , native	[61]
<i>Bordetella pertussis</i> pertactin (P69)	I, 3 g l <sup>-1</sup>	[62]
<i>Clostridium botulinum</i> neurotoxin (BoNT) serotype A and B	I, 78 mg l <sup>-1</sup>	[63]
<i>Clostridium botulinum</i> neurotoxin heavy chain fragment, serotype B	I, 390 $\mu$ g g <sup>-1</sup>	[64]
<i>Clostridium botulinum</i> neurotoxin serotype A binding domain	I, 2.4 mg total	[65]
<i>Clostridium tetani</i> tetanus toxin fragment C	I, 12 g l <sup>-1</sup>	[66]
<i>Escherichia coli</i> acid phosphatase/phytase (appA2)	S, 28.9 U mg <sup>-1</sup>	[67]
<i>Escherichia coli</i> $\beta$ -galactosidase	I, $2.0 \times 10^3$ U mg <sup>-1</sup>	[7]
<i>Escherichia coli</i> $\beta$ -lactamase	I	[20]
<i>Leishmania major</i> cathepsin B-like protease	S, $\alpha$ -MF	[68]
<i>Staphylococcus aureus</i> staphylokinase	S, 50 mg l <sup>-1</sup> , $\alpha$ -MF	[69]
<i>Streptococcus equisimilis</i> streptokinase	I, 77 mg l <sup>-1</sup>	[70]
<i>Streptomyces</i> subtilisin inhibitor	S	[71]
<i>Streptomyces viridosporus</i> T7A peroxidase, endoglucanase	S, 2.47 g l <sup>-1</sup> total protein, $\alpha$ -MF	[72]
<i>Toxoplasma gondii</i> SAG1 antigen	S, 12 mg l <sup>-1</sup> , $\alpha$ -MF	[73]
<i>Vibrio cholerae</i> accessory cholera enterotoxin (Acc)	S, 7 mg l <sup>-1</sup> , $\alpha$ -MF	[74]
<b>Fungi</b>		
<i>Alternaria</i> Alt 1 allergen	S, $\alpha$ -MF	[75]
<i>Aspergillus awamori</i> glucoamylase	S, 400 mg l <sup>-1</sup> , native	[76]
<i>Aspergillus awamori</i> glucoamylase catalytic domain	S, 400 mg l <sup>-1</sup> , PHO1	[47]
<i>Aspergillus fumigatus</i> catalase L	S, 2.3 g l <sup>-1</sup> , PHO1	[77]
<i>Aspergillus fumigatus</i> dipeptidyl peptidase IV (DPP IV)	S, PHO1	[78]
<i>Aspergillus fumigatus</i> dipeptidyl peptidase V (DPP V)	S, 0.15 mg l <sup>-1</sup> , PHO1	[79]
<i>Aspergillus giganteus</i> $\alpha$ -sarcin ribotoxin	S, 1 mg l <sup>-1</sup> , synthetic native, PHO1	[43]
<i>Aspergillus niger</i> phytase (phyA)	S, 65 U ml <sup>-1</sup> , $\alpha$ -MF	[80]
<i>Candida guilliermondii</i> xylose reductase gene (xyII)	I, 0.65 U mg <sup>-1</sup> ; S, 0.18 U mg <sup>-1</sup> , $\alpha$ -MF	[81]
<i>Candida rugosa</i> lipase I (CRL)	S, 150 U ml <sup>-1</sup> , $\alpha$ -MF	[42]
<i>Fusarium solani</i> pectate lyase (pelC)	S, 1 mg l <sup>-1</sup> , PHO1	[82]
<i>Fusarium solani</i> pectate lyase (pelD)	S, native	[83]
<i>Geotrichum candidum</i> lipase isoenzymes	S, 60 mg l <sup>-1</sup> , $\alpha$ -MF	[84]
<i>Phytophthora cryptogea</i> $\beta$ -cryptogein	S, 45 mg l <sup>-1</sup> , PHO1	[85]
<i>Rhizopus oryzae</i> lipase	S, 60 mg l <sup>-1</sup> , $\alpha$ -MF	[86]
<i>Saccharomyces cerevisiae</i> invertase	S, 2.5 g l <sup>-1</sup> , native	[30]
<i>Saccharomyces cerevisiae</i> Ktr1p	S, 400 mg l <sup>-1</sup> ; PHO1	[87]
<i>Saccharomyces cerevisiae</i> ( $\alpha$ -1,2-mannosyltransferase)	S, 40 mg l <sup>-1</sup> , PHO1	[87]
<i>Schizophyllum commune</i> vitamin B2-aldehyde-forming enzyme	S, 120 mg l <sup>-1</sup> , $\alpha$ -MF	[88]
<i>Trametes versicolor</i> (white rot fungus) laccase (lccI)	S, native and $\alpha$ -MF	[89]
<i>Trichoderma harzianum</i> $\beta$ -(1-6)-glucanase	S, 9.3 mg l <sup>-1</sup>	[90]

I = intracelulární,  
S = sekretovaný

Table 3: Heterologous proteins expressed in *P. pastoris*

Protein	Comments: mode, amount, signal sequence	Reference
<b>Protists</b>		
<i>Chondrus crispus</i> red alga hexose oxidase	I	[91]
<i>Gracilaria</i> <i>lemaneiformis</i> red alga $\alpha$ -1,4-glucan lyase (GLq1)	I	[92]
<i>Plasmodium falciparum</i> merozoite surface protein 1 (MSP-1)	S, 24 mg l <sup>-1</sup> , $\alpha$ -MF	[93]
<i>Plasmodium vivax</i> apical membrane antigen 1 (AMA-1)	S, 50 mg l <sup>-1</sup> , PHO1	[94]
<i>Reticulomyxa filosa</i> (giant freshwater ameba) $\alpha$ 2, $\beta$ 2 tubulin isoforms	I, 400 $\mu$ g g <sup>-1</sup>	[95]
<i>Trypanosoma cruzi</i> acid $\alpha$ -mannosidase	S, 11.5 $\mu$ g l <sup>-1</sup> , native	[96]
<b>Plants</b>		
<i>Allium sativum</i> (garlic) alliin lyase	I, 2.167 U g <sup>-1</sup>	[97]
<i>Arabidopsis thaliana</i> NADH:nitrate reductase	I, 18 $\mu$ g g <sup>-1</sup>	[98,99]
Barley ( <i>Hordeum vulgare</i> ) sucrose fructan 6-fructosyl transferase	S, $\alpha$ -MF	[100]
Barley $\alpha$ -amylase 1	S, 50 mg l <sup>-1</sup> , native	[48]
Barley $\alpha$ -amylase 2	S, 1 mg l <sup>-1</sup> , native	[48]
Barley aleurone tissue $\alpha$ -glucosidase	S, $\alpha$ -MF	[101]
Coffee bean $\alpha$ -galactosidase	S, 400 mg l <sup>-1</sup> , $\alpha$ -MF	[102]
<i>Cynara cardunculus</i> (cardoon) cyprosin	S, 1 mg l <sup>-1</sup> , native	[103]
<i>Cynodon dactylon</i> (Bermuda grass) Cyn d 1	S, 1.5 g l <sup>-1</sup> , PHO1	[104,105]
<i>Galanthus nivalis</i> agglutinin	S, PHA-E	[45]
<i>Hevea brasiliensis</i> hydroxynitrile lyase	I, 22 g l <sup>-1</sup>	[106]
<i>Hevea brasiliensis</i> Hev b 7 patatin-like allergen	S, 10 mg l <sup>-1</sup> , $\alpha$ -MF	[107,108]
Maize cytokinin oxidase	S, native	[109]
Oat phytochrome A, phA	I, 30 $\mu$ g g <sup>-1</sup>	[110,111]
Oat phytochrome A, phyA65 apoprotein	I, 20 $\mu$ g g <sup>-1</sup>	[112]

I = intracelulární,  
S = sekretovaný



